



Laboratoire de Physique  
Théorique et Modélisation

Université de Cergy-Pontoise

# SYMETRIE, GEOMETRIE, TOPOLOGIE ET SPINS

Spins de Heisenberg à la limite continue  
Membranes magnétiques

## THÈSE

présentée et soutenue publiquement par  
JÉRÔME BENOIT  
le 29 juin 1999  
pour l'obtention du

**DOCTORAT DE L'UNIVERSITÉ DE CERGY-PONTOISE**  
**(SPÉCIALITÉ PHYSIQUE)**

### COMPOSITION DU JURY

Président du Jury : Monsieur JEAN-FRANÇOIS SADOC  
Rapporteurs : Monsieur KAROL PENSON  
Monsieur AVADH SAXENA  
Examinateurs : Monsieur ROSEN DANDOLOFF (Directeur de Thèse)  
Madame RADHA BALAKRISHNAN  
Monsieur JÉRÔME LEON  
Monsieur TUONG TRUONG

Version 0.915965e compilée le 4 octobre 2018  
cond-mat/9909129

Ce mémoire est mis en forme par  $\text{\TeX}$  et ses associés :  $\text{\LaTeX}\ 2\varepsilon$ ,  $\mathcal{AM}\mathcal{S}\text{-}\text{\LaTeX}$ ,  $\text{BIB}\text{\TeX}$ , *MakeIndex*, **METAFONT**, **METAPOST**, ...

# Remerciements

Ce travail a été effectué à l'UNIVERSITÉ DE CERGY-PONTOISE au sein du LABORATOIRE DE PHYSIQUE THÉORIQUE ET MODÉLISATION dirigé par HUNG THE DIEP.

Je souhaite avant tout remercier ROSSEN DANDOLOFF de m'avoir proposé ce sujet de thèse, de m'avoir dirigé et aidé dans mes travaux, et de m'avoir témoigné toute sa confiance. Ses conseils, ses suggestions, ses encouragements et son aide m'ont été très utiles pour mener ce travail à son terme.

Je remercie KAROL PENSON et AVADH SAXENA d'avoir accepté d'être Rapporteur de mes recherches. J'exprime également toute ma gratitude envers les autres membres du Jury : JEAN-FRANÇOIS SADOC, M<sup>me</sup> RADHA BAL-AKRISHNAN, JÉRÔME LEON et TUONG TRUONG.

Je suis redevable à HUNG THE DIEP d'avoir permis le bon déroulement de mon séjour au LPTM. Mes remerciements vont aussi à tous les membres du laboratoire avec qui j'ai eu de fructueuses discussions.

# Résumé

Lors de cette thèse mes recherches se sont principalement orientées vers l'étude de systèmes antiferromagnétiques en présence de configurations antiferromagnétiques exotiques caractérisées par un invariant topologique.

De multiples tentatives infructueuses pour mener à terme le passage à une théorie des champs continue du modèle antiferromagnétique de Heisenberg sur le réseau triangulaire dans la perspective de mettre en évidence la présence du terme de Hopf dans le Lagrangien m'ont conduits à esquisser pour les réseaux antiferromagnétiques de basse dimension la construction de nouveaux degrés de liberté antiferromagnétiques locaux. Cette construction originale reproduit la hiérarchie des algèbres réelles à divisions vérifiée par le modèle  $\sigma$  non-linéaire (limite continue du Hamiltonien de Heisenberg classique en dimension deux) et révèle la présence d'un champs de jauge locale inédit. Surtout cette construction algébrique m'amène à suggérer un nouveau processus microscopique qui serait à l'origine du terme de Hopf, d'états antiferromagnétiques topologiques (caractérisés par l'indice de Pontrjagin) et de la transmutation de Fermi-Bose (supraconductivité).

En outre j'ai mis en évidence pour des membranes magnétiques souples de genre topologique sphérique et torique en présence d'un soliton magnétique l'existence d'un rétrécissement global renflé localement aux vagues du soliton. L'origine géométrique de ce phénomène inédit m'a amené à interpréter la frustration géométrique des membranes magnétiques souples comme la compétition entre les deux ordres topologiques présents (décris par l'indice de Pontrjagin du soliton et le genre de la membrane).

Le processus microscopique et la compétition topologique suggérés élargissent le champs d'investigation initial en fournissant une origine microscopique à la transmutation de Fermi-Bose et un moyen de traquer cette physique exotique.

# Abstract

In this thesis I present my research on the exotic configurations of antiferromagnetic systems characterised by a topological invariant.

It is expected that taking the continuum limit of the antiferromagnetic Heisenberg model on the triangular lattice gives rise to a Lagrangian with a Hopf term. The research presented in this thesis shows that the continuum limit is much more difficult to achieve than may be expected. This difficulty led me to outline the construction of novel local antiferromagnetic degrees of freedom for low dimensional antiferromagnetic lattices. This new construction reproduces the real division algebra hierarchy satisfied by the nonlinear  $\sigma$ -model (which corresponds to the continuum limit of the Heisenberg Hamiltonian for classical isotropic antiferromagnets in two dimensions) and reveals the presence of a novel local gauge field. This algebraic construction leads me to suggest a new microscopic mechanism which should give rise to the Hopf term, as well as antiferromagnetic topological states (characterised by the Pontrjagin index), and the Fermi-Bose transmutation (superconductivity).

In this thesis I have also studied elastic magnetic vesicles of spherical and toric genus in the presence of a magnetic soliton. My studies reveal a global shrinking, with local swellings in the regions where the soliton presents a spin-flip. The geometrical origin of this novel phenomena led me to interpret the geometric frustration of magnetic vesicles as the competition between the two topological orders present (one described by the Pontrjagin index of the soliton and the other by the genus of the vesicle).

The microscopic mechanism and topological competition suggested above go beyond the scope of this thesis, providing a microscopic explanation for the Fermi-Bose transmutation and a way to deal with this type of exotic physics.

# Plan du Mémoire

<b>Remerciements</b>	<b>i</b>
<b>Résumé</b>	<b>ii</b>
<b>Abstract</b>	<b>iii</b>
<b>Plan du Mémoire</b>	<b>iv</b>
<b>Introduction</b>	<b>1</b>
<b>1 Le réseau antiferromagnétique</b>	<b>3</b>
1 Le modèle antiferromagnétique de Heisenberg . . . . .	4
1.1 Spins sur réseau . . . . .	4
1.2 Interactions d'échange : Hamiltonien de Heisenberg .	5
1.3 État antiferromagnétique : sous-réseaux de Néel . . .	7
1.4 Antiferromagnétisme frustré et assouvi . . . . .	9
2 Le «sur-réseau»antiferromagnétique . . . . .	10
2.1 Les degrés de liberté antiferromagnétiques locaux . .	10
2.2 Cas unidimensionnel : la chaîne de Haldane . . . . .	11
2.3 Cas d'un système frustré : le réseau triangulaire . . .	13
2.4 Cas d'un système assouvi : le réseau carré . . . . .	15
<b>2 Membranes magnétiques</b>	<b>19</b>
1 Le modèle $\sigma$ non-linéaire . . . . .	20
1.1 Préliminaires . . . . .	20
1.2 Double obstruction topologique : classification de Toulouse-Kléman . . . . .	23
1.3 Énergie magnétique : décomposition de Bogomol'nyi .	25
1.4 Énergie de courbure : Hamiltonien de Helfrich-Willmore	27
1.5 Frustration géométrique . . . . .	30
2 Membranes de topologie sphérique . . . . .	32
2.1 La sphère : une forte dégénérescence . . . . .	32

---

2.2	Le cylindre infini : des solitons assouvis . . . . .	35
2.3	Sections de cylindre : déformation solitonique . . . . .	38
3	Membranes de topologie torique . . . . .	43
3.1	Le tore : une dégénérescence solitonique . . . . .	43
3.2	Sections de tore : déformation solitonique . . . . .	45
3.3	Déformations symétriques du tore de Clifford . . . . .	50
<b>Conclusion</b>		<b>53</b>
<b>A L'équation de sinus-Gordon</b>		<b>55</b>
1	L'équation simple de sinus-Gordon . . . . .	55
2	L'équation double de sinus-Gordon . . . . .	57
3	Évaluation numérique du paramètre . . . . .	58
<b>B L'équation inhomogène de Lamé</b>		<b>61</b>
1	L'équation aux différences . . . . .	61
2	La solution minimale . . . . .	62
3	Évaluation numérique . . . . .	63
<b>Bibliographie</b>		<b>65</b>
<b>Index des Auteurs</b>		<b>71</b>
<b>Lexique</b>		<b>73</b>
<b>Table des Figures</b>		<b>79</b>
<b>Publications</b>		<b>81</b>
<b>Informations</b>		<b>83</b>



# Introduction

Le mécanisme responsable de la supraconductivité à haute température n'est pas encore connu : les théories « conventionnelles » de la matière condensée ne prédisent pas de températures critiques appartenant au domaine actuellement atteint par les expériences (de  $40K$  à  $120K$ ). À basse température l'interaction entre les électrons (les porteurs de charge du réseau cristallin) et les phonons (les vibrations élémentaires du réseau cristallin) induit la supraconductivité « ordinaire ». Par contraste l'état supraconducteur à haute température serait dû aux spins des électrons.

Dans ce contexte un argument simple de topologie suggère l'existence pour un réseau bidimensionnel antiferromagnétique d'états caractérisés par un invariant topologique : il s'agit en fait de recouvrir la sphère unité  $S^2$  (la variété des spins) en parcourant l'hypersphère unité  $S^3$  (le plan-temps compactifié) — le nombre de recouvrement étant l'invariant topologique de Hopf. Une théorie de champs continue d'un tel système est généralement décrite par le modèle  $\sigma$  non-linéaire. L'émergence lors du passage à une théorie de champs continue de l'invariant de Hopf dans le Lagrangien (conjecturée par Dzyaloshinski, Polyakov et Wiegmann) est l'objet de multiples controverses : cela modifierait la statistique du système et révélerait l'existence d'une transmutation de Fermi-Bose [Pol88]. Pour les systèmes de basse dimension ce mécanisme se généraliserait en suivant la hiérarchie des algèbres à divisions [Tze88]. Avant d'envisager tout passage à une théorie des champs continue, la construction d'un paramètre d'ordre local pertinent est primordiale : la première partie de ce mémoire suggère la construction d'un nouveau paramètre d'ordre local qui reproduit la hiérarchie des algèbres à divisions et dont le Lagrangien peut exhiber le terme de Hopf.

De plus les états statiques d'un réseau bidimensionnel antiferromagnétique sont ici caractérisé par l'indice de Pontrjagin qui décompte les recouvrements de la variété des spins lorsque le réseau bidimensionnel est parcouru : à la limite continue il s'agit d'envoyer une membrane compactifiée (la surface magnétique) sur la sphère unité  $S^2$  (la variété des spins) *via* le modèle  $\sigma$  non-linéaire (le Hamiltonien magnétique). Certaines membranes courbes admettent des distributions de

spins de type soliton caractérisées par un paramètre de forme. La deuxième partie de ce mémoire étudie la compétition entre l'énergie magnétique de la distribution des spins et l'énergie élastique de la membrane en suggérant une approche topologique. Enfin un rétrécissement global avec des renflements localisés aux solitons est mis en évidence.

# Chapitre 1

## Le réseau antiferromagnétique

# 1 Le modèle antiferromagnétique de Heisenberg

Dans les solides les interactions entre électrons sont souvent importantes et d'une extraordinaire complexité. En physique de la matière condensée, ce problème d'interaction électronique se réduit dans la plupart des cas à un problème de spins couplés sur réseau [Fra91, Aue94, Lév97]. Ici les spins seront identiques et occuperont les nœuds de réseaux réguliers isotropes de basse dimension.

## 1.1 Spins sur réseau

L'étude du magnétisme nécessite l'introduction d'un objet physique typiquement quantique : le *moment angulaire intrinsèque* communément appelé *spin*. Du point de vue de la théorie des champs, le spin d'une particule élémentaire correspond à la «charge» de Noether associée à l'isotropie de l'espace-temps propre à cette particule élémentaire [BL93, Gol80, Siv95]. Autrement dit, le spin d'une particule élémentaire traduit la rotation de ladite particule élémentaire sur elle-même, sa rotation dans l'espace-temps étant décrite par son *moment angulaire orbital*. Notons au passage que le moment angulaire orbital possède un équivalent classique contrairement au moment angulaire intrinsèque. Dans le cadre présent, à chaque nœud ( $i$ ) du réseau est associé un spin représenté par un opérateur vectoriel  $S_i^\alpha$  qui engendre une *algèbre de Lie* [SW86] de dimension  $s$  selon la relation de commutation

$$[S_i^\alpha, S_j^\beta] = i\hbar e^{\alpha\beta\gamma} \delta_{ij} S_{i\gamma} \quad (1.1)$$

avec  $\hbar$  la constante de Planck,  $e^{\alpha\beta\gamma}$  le tenseur unitaire parfaitement antisymétrique d'ordre trois et  $\delta_{ij}$  le symbole de Kronecker. De fait l'*opérateur de Casimir*  $S^2$  [SW86] fixe la dimension du *degrés de liberté local* du réseau :

$$S^2 \equiv S_i^\alpha S_{i\alpha} = s(s+1) \quad \forall i. \quad (1.2)$$

Les réseaux envisagés sont les *pavages compacts régulier* (sans lacune ni recouvrement) des espaces Euclidiens de basse dimension ( $d = 1, 2, 3, 4$ ) avec des *polytopes réguliers* identiques [Cox73, Siv95]. Dans le cadre présent, les réseaux seront donc caractérisés par un polytope régulier :

- le réseau aura la dimension  $d$  du polytope régulier ;
- les symétries qui préservent le polytope régulier préserveront le réseau ;
- les translations qui reproduisent le réseau à partir d'un exemplaire du polytope régulier préserveront le réseau ;
- la longueur des arêtes du polytope régulier correspondra au *pas a* du réseau.

Observant que les polytopes réguliers de dimension  $d$  sont également des pavages réguliers de la sphère  $S^{d-1}$  [dV64, Cox73], introduisons la notion de « *sur-réseau* » : nous entendrons par « *sur-réseau* » de dimension  $d$  un réseau de même dimension dont peut s'extraire un réseau régulier de dimension  $d$  en assimilant ses « *sur-nœuds* » à des sphères  $S^{d-1}$  identiquement et régulièrement pavées (FIGURE 1.1). Il est évident qu'à un réseau régulier peut être associé plusieurs « *sur-réseaux* », et réciproquement.

Le comportement magnétique sur de longues distances (longues devant le pas  $a$  du réseau) sera appréhendé en passant à une théorie de champs continue selon une *prescription due à Affleck* [Aff88, Aff89]. Il s'agit de faire tendre conjointement le pas  $a$  du réseau vers zéro et le nombre quantique  $s$  vers l'infini tout en maintenant constantes les quantités physiques mesurables expérimentalement. Cette prescription traite implicitement les spins à la *limite classique*. En effet la relation de commutation (1.1), qui doit s'écrire pour garder un sens

$$\left[ \frac{\mathbf{S}_i^\alpha}{s}, \frac{\mathbf{S}_j^\beta}{s} \right] = i \frac{\hbar}{s} \epsilon^{\alpha\beta\gamma} \delta_{ij} \frac{\mathbf{S}_{i\gamma}}{s}, \quad (1.3)$$

s'évanouit lorsque le nombre quantique  $s$  s'approche de l'infini. Nous supposerons les résultats physiques obtenus applicables pour des valeurs physiques du nombre quantique  $s$  ( $s = \frac{1}{2}$  ou  $s = 1$ ) et des valeurs du pas  $a$  caractéristiques des solides cristallins (de l'ordre de 4 Å). Il est évident que la construction d'un *paramètre d'ordre local* pertinent est un prélude nécessaire et complexe qui doit à la fois clarifier les phénomènes physiques observés et valider la justesse du passage à une théorie de champs continue.

## 1.2 Interactions d'échange : Hamiltonien de Heisenberg

Le magnétisme électronique provient de l'*interaction Coulombienne* entre électrons qui force les spins dans des états ordonnés : le *principe de Pauli* impose des états complètement antisymétriques lorsque deux fermions sont échangées. Généralement le Hamiltonien initiale d'un solide cristallin qui est extraordinairement complexe peut être réduit sous une forme simple paramétrisée seulement en termes de spins. Le plus souvent cet Hamiltonien effectif est de *Heisenberg* [Lév97] :

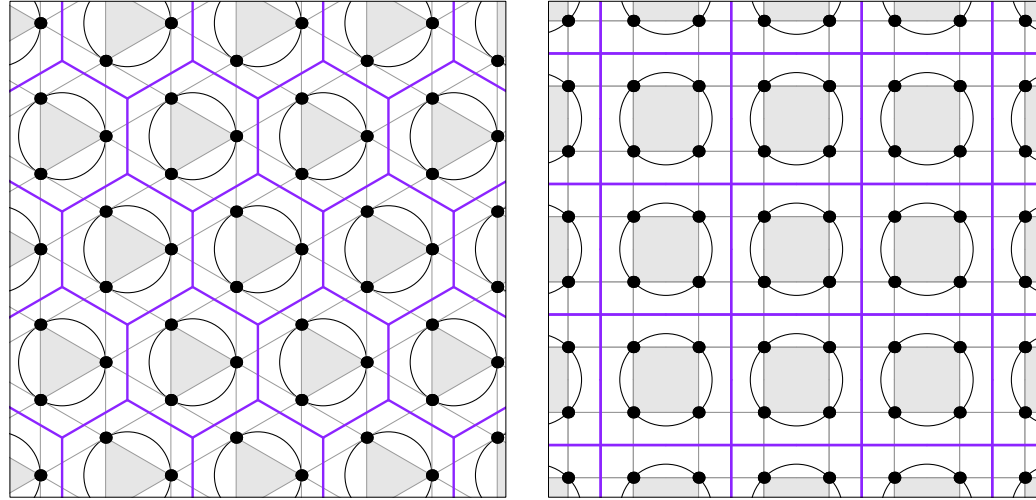
$$\mathcal{H}_H = - \sum_{i,j} J_{ij}^{\alpha\beta} S_{i\alpha} S_{j\beta}, \quad (1.4)$$

où les indices  $i$  et  $j$  étiquettent les porteurs de spins. Les tenseurs génériques  $J_{ij}^{\alpha\beta}$  décrivent les *interactions d'échange*. Pour un *couplage antiferromagnétique isotrope* entre premiers voisins sur un réseau régulier de spins nous lisons

$$\mathcal{H}_H = J \sum_{\langle i,j \rangle} S_i^\alpha S_{j\alpha}, \quad (1.5)$$

avec  $J$  une constante de *couplage spin-spin* positive.

À haute température (température supérieure à la *température de Curie*) il n'y a pas d'*ordonnancement magnétique* : le système magnétique est dans un *état paramagnétique*. Le système de spins est alors localement isotrope et invariant par rotation : un système paramagnétique possède les symétries de son réseau de spins. À basse température différents ordres peuvent émerger. À très basse température (température proche du *zéro absolu*) les systèmes de spins réguliers et isotropes acquièrent une orientation particulière dans l'espace : il y a un *ordonnancement magnétique*. Cette direction spontanée *brise* l'invariance locale par rotation du système. En observant qu'un système physique ne peut pas changer graduellement de symétrie (une symétrie existe ou n'existe pas) Landau a mis en évidence qu'une *transition de phase du second ordre* doit séparer les états de différentes symétries [Lév97, Siv95]. Généralement quand une symétrie est *brisée* l'*état non-symétrique* est caractérisé par un *paramètre d'ordre local* : selon Landau tout paramètre local dont la valeur moyenne est nulle dans l'état symétrique et non-nulle dans l'état non-symétrique peut constituer un *paramètre d'ordre local* [Siv95].



Le réseau triangulaire paramagnétique

Le réseau carré paramagnétique

FIGURE 1.1: Les *réseaux triangulaire* et *carré paramagnétiques* : l'invariance locale par rotation des deux systèmes magnétiques est schématisée en magnifiant les noeuds porteurs de spin. Pour chaque réseau le «*sur-pavage*» représente un choix possible de «*sur-réseau*» : les *plaquettes* grisées correspondant alors aux «*sur-nœuds*».

### 1.3 État antiferromagnétique : sous-réseaux de Néel

Dans un solide cristallin antiferromagnétique deux spins adjacents font de leur mieux pour s'aligner selon des orientations opposées ( $\uparrow\downarrow$ ). Il se crée ainsi un *motif alterné* à travers le réseau formé par les spins. Sur un réseau régulier de spins cet arrangement alterné se traduit par l'émergence d'une antisymétrie locale [Siv95] : les nœuds de chaque polytope d'un «sur-réseau» du réseau régulier initial sont colorés. Cette *brisure de symétrie* locale caractérise l'*état antiferromagnétique*. Pour illustration : la *chaîne paramagnétique* de pas  $a$  (FIGURE 1.2) est préservée par la translation de pas  $a$ , alors que la *chaîne antiferromagnétique* de pas  $a$  (FIGURE 1.3) est alternée par l'anti-translation de pas  $a$  et préservée par la translation de pas  $2a$  (*i.e.* le pas des «sur-chaînes»). L'état classique correspondant à l'énergie la plus basse du *Hamiltonien de Heisenberg antiferromagnétique* (1.5), communément appelé l'*état de Néel*, constitue une représentation immédiate du réseau de spins coloré. Les spins du *réseau de Néel* ayant la même orientation forment les *sous-réseaux de Néel* : les réseaux cubiques<sup>1</sup> de Néel sont *bipartites* (FIGURES 1.3 et 1.5), le réseau triangulaire de Néel est *tripartite* (FIGURE 1.4). Enfin les «sur-nœuds» du réseau de Néel sont usuellement appelés les *plaquettes de Néel* : chaque plaquette de Néel correspond en général à une description locale des sous-réseaux de Néel, d'où une certaine ambiguïté qui sera levée en utilisant systématiquement la notion de «*sur-nœud*» dont le caractère local est sans équivoque (FIGURES 1.1 et 1.2).

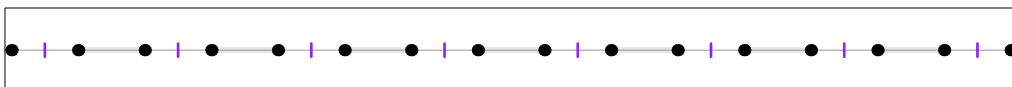
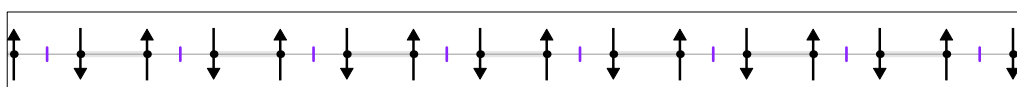
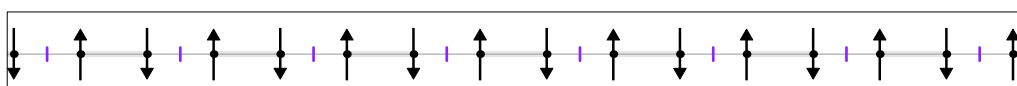


FIGURE 1.2: La *chaîne paramagnétique*.



La chaîne de Néel



L'anti-chaîne de Néel

FIGURE 1.3: La *chaîne ferromagnétique*.

---

<sup>1</sup>Dans le cadre présent : la chaîne ( $d=1$ ), le réseau carré ( $d=2$ ), le réseau cubique ( $d=3$ ) et le réseau 4-cubique ( $d=4$ ).

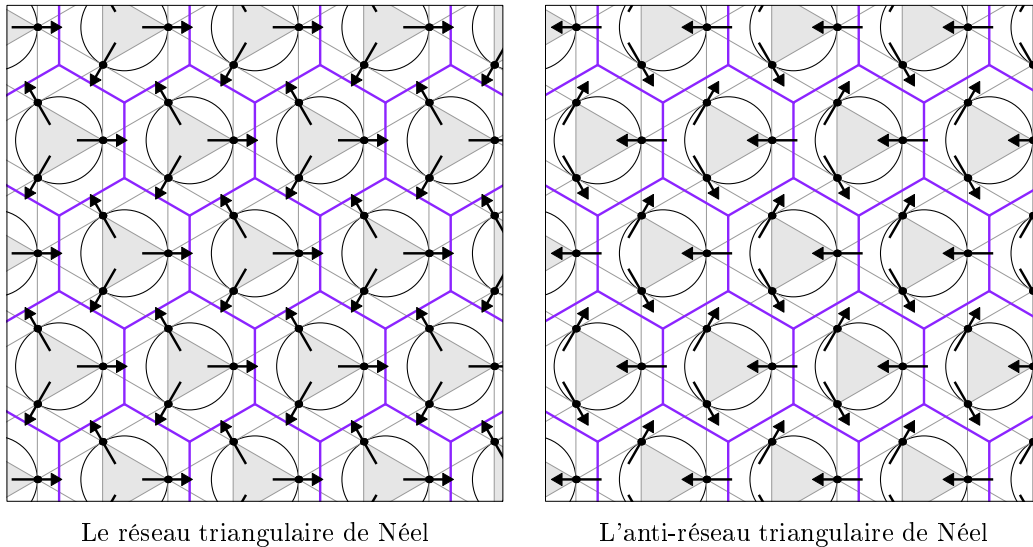


FIGURE 1.4: Le *réseau carré ferromagnétique* : l’arrangement alterné des spins est *tricolore*. L’antisymétrie tricolore est usuellement représentée par trois familles de vecteurs dont les directions prises deux à deux forment un angle de  $\frac{2}{3}\pi$  : les sous-réseaux de Néel ( $\rightarrow$ ,  $\nwarrow$  et  $\swarrow$ ).

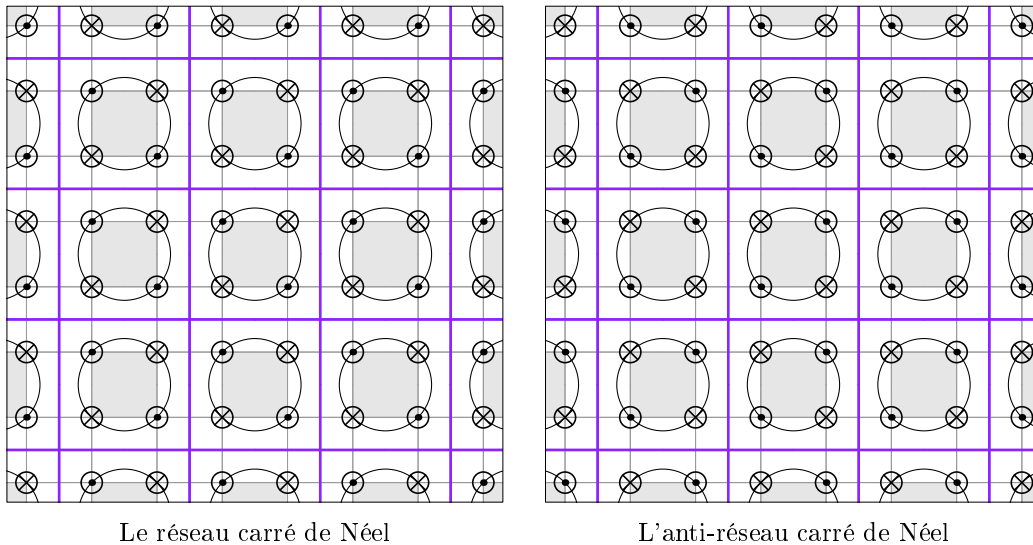


FIGURE 1.5: Le *réseau carré ferromagnétique* : l’arrangement alterné des spins est *bicoloré*. L’antisymétrie bicolorée est usuellement représentée par deux familles de vecteurs de direction identique mais de sens opposé : les sous-réseaux de Néel ( $\odot$  et  $\otimes$ ).

Par construction deux antiopérations successives laissent le réseau de spins invariant : nous caractériserons les «sur-réseaux» par leur *hélicité* [Siv95]. Conséquences immédiates : toute antiopération autre que l'anti-translation n'affecte que les «sur-nœuds» tout en changeant l'*hélicité* du «sur-réseau», et deux antitranslations successives ne constituent rien d'autre qu'une translation du «sur-réseau». En d'autres termes, puisque l'antisymétrie caractérise l'état antiferromagnétique, les «sur-réseaux» sont transparents à l'antiferromagnétisme du système (à l'*hélicité* du «sur-réseau» près) alors que l'antiferromagnétisme est concentré en leurs «sur-nœuds». *A posteriori* le «*sur-réseau*» apparaît donc comme le *réseau de l'état antiferromagnétique* : un *paramètre d'ordre local* pertinent de l'état *antiferromagnétique* doit être associé à un «sur-nœud» [DR88, DR89, ADDJ93].

## 1.4 Antiferromagnétisme frustré et assouvi

Deux grands types de frustrations existent pour les systèmes antiferromagnétiques [Kaw98, Lév97] :

- il existe une compétition entre plusieurs ordres magnétiques de différentes natures dont un au moins est antiferromagnétique : *e.g.* un ordre antiferromagnétique entre premiers voisins s'opposant à une *interaction d'échange* ferromagnétique entre seconds voisins ;
- le réseau interdit la satisfaction de toutes les interactions d'échange : *e.g.* sur le *réseau triangulaire* il est impossible d'aligner antiparallèlement trois spins deux à deux adjacents.

Seule la frustration due au réseau est pertinente dans le contexte présent. Cette *frustration géométrique* est caractérisé par un nombre de *sous-réseaux de Néel* supérieur à deux. Le «sur-réseau» est donc transparent à la frustration géométrique [DR89, ADDJ93].

## 2 Le « sur-réseau » antiferromagnétique

Dans la partie précédente le réseau des porteurs de spin apparaît comme le réseau de l'état paramagnétique, le « sur-réseau » comme le réseau de l'état antiferromagnétique — les « sur-nœuds » renfermant la non-symétrie.

J'esquisse une mise en évidence pour les « sur-réseaux » antiferromagnétiques réguliers de basse dimension d'une *hiérarchie algébrique* analogue à celle du modèle  $\sigma$  non-linéaire [Tze88, TN89, GT96] : les « sur-nœuds » se comportent ici comme des « *sur-particules* » à part-entière, les « sur-réseaux » antiferromagnétiques comme des réseaux de « *sur-particules* ».

### 2.1 Les degrés de liberté antiferromagnétiques locaux

Je construis les *degrés de liberté antiferromagnétiques locaux* associés à un « sur-nœud » comme étant les combinaisons linéaires des *degrés de liberté locaux* (*i.e.* les spins) associés au polytope régulier du « sur-nœud » qui réduisent les *représentations irréductibles* du groupe des transformations laissant le polytope régulier du « sur-nœud » invariant. Il s'avère alors avantageux de se représenter le polytope régulier du « sur-nœud » comme un pavage régulier de la sphère  $S^{d-1}$  avec  $d$  la dimension du réseau. Or chaque groupe des transformations laissant invariant un pavage régulier de la sphère  $S^{d-1}$  admet une *représentation* dans l'*algèbre réelle à divisions*<sup>2</sup>  $\mathbb{A}_d$  de dimension  $2^{d-1}$  [EHH<sup>+</sup>90, GT96, Dix94, dV64, Cox91] : les combinaisons linéaire seront construites dans cette algèbre  $\mathbb{A}_d$ . Je choisi *a priori* comme *paramètre d'ordre antiferromagnétique local* la *combinaison linéaire algébrique* normée à la limite continue qui est préservée par l'antiopération caractérisant l'état antiferromagnétique à l'hélicité près. Lors du passage à une théorie de champs continu je suppose que les combinaisons linéaires algébriques restantes se comportent comme si les degrés de liberté (*i.e.* les spins) du polytope régulier étaient effectivement décrits par un champs continu. Enfin j'impose une représentation locale : les *degrés de liberté antiferromagnétiques locaux* seront définis à une rotation locale près. La rotation locale s'appliquant aux degrés de liberté du « sur-nœud » et non à sa sphère  $S^{d-1}$  doit s'interpréter comme un *champ de jauge locale* [Nab97, BL93, Nak90]. Cette dernière hypothèse est la plus originale : la représentation implicitement choisie est généralement globale [DR88, DR89, ADDJ93].

Les interactions d'échange n'engendrent pas ici un *ordonnancement antiferromagnétique global* (c'est-à-dire « à la Néel ») mais forcent les spins à s'organiser en « sur-nœuds » : les spins appartenant à un même « sur-nœud »

---

<sup>2</sup>Real Division Algebra

se lient entre eux tout en se désolidarisant des spins appartenant aux « sur-nœuds » voisins. Dans ce contexte les « sur-nœuds » acquièrent une légitimité physique immédiate : ils se comportent comme des « *sur-particules* ». Dans ce nouvel état antiferromagnétique le comportement magnétique sur de longues distances (longues devant le rayon d'une « sur-particule ») provient des interactions entre les « sur-particules » décrites ici comme une désolidarisation entre spins liés à deux « sur-particules » adjacentes. En outre, un polytope régulier de dimension  $d$  n'étant rien d'autre qu'un réseau régulier sur la sphère  $S^{d-1}$ , une « sur-particule » n'est rien d'autre qu'un réseau antiferromagnétique régulier de la sphère  $S^{d-1}$  : l'utilisation de la théorie des groupes pour effectuer un changement de degrés de liberté apparaît donc légitime. Une représentation étant définie à une rotation près, l'antisymétrie antiferromagnétique de chaque réseau sphérique (*i.e.* de chaque « sur-particule ») est définie à une rotation près : les réseaux sphériques sont désolidarisés en imposant un champs de jauge locale. Les rotations invoquées sont celles qui laissent la sphère  $S^{d-1}$  invariante. La théorie des groupes permet ainsi de séparer l'*antisymétrie imposée* par les interactions d'échange et la *symétrie héritée* du polytope régulier, le réseau maintenant une certaine cohésion traduite par l'existence d'un champs de jauge locale. Aussi les degrés de liberté antiferromagnétiques locaux héritent-ils de la *hiérarchie algébrique* des groupes des transformations préservant les polytopes réguliers, c'est-à-dire la hiérarchie algébrique des *algèbres réelles à divisions*  $\mathbb{A}_d$ . Nous nous attendons donc à rencontrer une physique exotique.

## 2.2 Cas unidimensionnel : la chaîne de Haldane

La *chaîne régulière* est pavée avec le 1-cube  $C^0$  représenté dans l'*algèbre réelle à divisions*  $\mathbb{R}$  par le doublet

$$C^0 = \{+1, -1\}, \quad (1.6a)$$

$$= S^0. \quad (1.6b)$$



FIGURE 1.6: *Représentation réelle* du 1-cube  $C^0$ .

Les transformations préservant le 1-cube se réduisent à l'identité 1 et à la rotation/antisymétrie  $-1$ . Le choix d'une «sur-chaîne» étant fait, pour chaque «sur-nœud» ( $p$ ) de la «sur-chaîne» nous étiquetterons par  $(p_0)$  et  $(p_1)$  les deux nœuds représentés respectivement par les réels  $+1$  et  $-1$ . Respectant la prescription introduite dans la Sous-Section 2.1, nous introduisons le *paramètre d'ordre antiferromagnétique local*  $\mathbf{n}_p^\alpha$  tel que

$$2\nu\mathbf{n}_p^\alpha = \mathbf{S}_{p_0}^\alpha - \mathbf{S}_{p_1}^\alpha, \quad (1.7a)$$

et la *représentation triviale*  $\mathbf{l}_p^\alpha$  telle que

$$2a\mathbf{l}_p^\alpha = \mathbf{S}_{p_0}^\alpha + \mathbf{S}_{p_1}^\alpha. \quad (1.7b)$$

À la limite classique l'opérateur de Casimir  $S^2$  (1.2) impose entre les nouveaux *degrés de liberté antiferromagnétiques locaux* les relations exactes suivantes :

$$\mathbf{n}_p^2 = 1 - \frac{a^2}{\nu^2} \mathbf{l}_p^2, \quad (1.8a)$$

$$\mathbf{n}_p^\alpha \mathbf{l}_{p_\alpha} = 0, \quad (1.8b)$$

avec

$$\nu = \sqrt{s(s+1)}. \quad (1.9)$$

Les deux *contraintes* (1.8) montrent clairement que le *nombre total de degrés de liberté* (égal à quatre) est conservé lors du changement de degrés de liberté (1.7). En outre lorsque le pas  $a$  du réseau et le nombre quantique  $s$  tendent conjointement vers zéro et l'infini respectivement (prescription d'Afleck [Aff88, Aff89]) le paramètre d'ordre antiferromagnétique local  $\mathbf{n}_p^\alpha$  est effectivement normé. Observons enfin que pour la théorie des champs continus ainsi construite le paramètre d'ordre local vit sur la sphère unité  $S^2$ .

Étant donnés les degrés de liberté antiferromagnétiques locaux  $\mathbf{n}_p^\alpha$  et  $\mathbf{l}_p^\alpha$  décrivant une «sur-particule» ( $p$ ) d'une chaîne antiferromagnétique, les *spins internes* de ladite «sur-particule»  $\mathbf{S}_{p_0}^\alpha$  et  $\mathbf{S}_{p_1}^\alpha$  s'obtiennent aisément en inversant (1.7); nous lisons

$$\mathbf{S}_{p_0}^\alpha = \nu \mathbf{n}_p^\alpha + a \mathbf{l}_p^\alpha, \quad (1.10a)$$

$$\mathbf{S}_{p_1}^\alpha = -\nu \mathbf{n}_p^\alpha + a \mathbf{l}_p^\alpha. \quad (1.10b)$$

Pour conclure, la prescription envisagée reproduit parfaitement la *décomposition de Haldane* [Hal83a, Lév97].

### 2.3 Cas d'un système frustré : le réseau triangulaire

Le réseau triangulaire est pavé avec le triangle équilatéral  $T^1$  représenté dans l'algèbre réelle à divisions  $\mathbb{C}$  par le triplet

$$T^1 = \left\{ 1, w, w^2 \right\}, \quad (1.11)$$

avec  $w$  la racine troisième de l'unité :

$$w \equiv e^{i \frac{2\pi}{3}}.$$

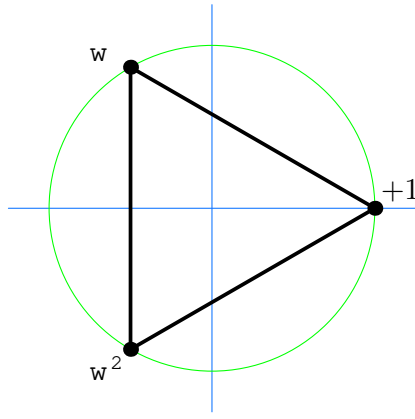


FIGURE 1.7: *Représentation complexe du triangle équilatéral  $T^1$ .*

Le triangle équilatéral  $T^1$  est préservé par toutes combinaisons de l'opération de conjugaison et de la rotation  $w$ . Un « sur-réseau » étant choisi, les trois nœuds d'un « sur-nœud » quelconque ( $p$ ) représentés respectivement par les trois complexes  $1$ ,  $w$  et  $w^2$  seront étiquetés respectivement par  $(p_0)$ ,  $(p_1)$  et  $(p_2)$ . L'antiopération antiferromagnétique n'étant rien d'autre que la rotation  $w$ , nous construisons le paramètre d'ordre antiferromagnétique local  $n_p^\alpha$  tel que

$$\frac{3}{\sqrt{2}} \nu n_p^\alpha = e^{-i \gamma_p} \left[ S_{p_0}^\alpha + w S_{p_1}^\alpha + w^2 S_{p_2}^\alpha \right], \quad (1.12a)$$

et la représentation triviale  $l_p^\alpha$  telle que

$$3 a^2 l_p^\alpha = S_{p_0}^\alpha + S_{p_1}^\alpha + S_{p_2}^\alpha. \quad (1.12b)$$

Soulignons que la *représentation complexe* (1.12a) est définie à un champs de jauge locale  $\gamma_p$  près. À la limite classique les *degrés de liberté antiferromagnétiques* satisfont aux *contraintes* suivantes :

$$\mathbf{n}_p^{\alpha\dagger} \mathbf{n}_{p\alpha} = 1 - \frac{a^4}{\nu^2} \mathbf{l}_p^2, \quad (1.13a)$$

$$\mathbf{n}_p^{\alpha} \mathbf{n}_{p\alpha} = -2\sqrt{2} \frac{a^2}{\nu} e^{-i\gamma_p} \mathbf{l}_p^{\alpha\dagger} \mathbf{n}_{p\alpha}. \quad (1.13b)$$

Le *nombre total de degrés de liberté* (égal à six) est donc préservé lors du changement des degrés de libertés locaux et le paramètre d'ordre antiferromagnétique local  $\mathbf{n}_p^\alpha$  est effectivement normé à la limite continue.

Il s'avère alors judicieux d'introduire les combinaisons linéaires locales

$$\mathbf{n}_{Xp}^\alpha \equiv \frac{2}{3\nu} [S_{p_0}^\alpha - \frac{1}{2}(S_{p_1}^\alpha + S_{p_2}^\alpha)], \quad (1.14a)$$

$$\mathbf{n}_{Yp}^\alpha \equiv \frac{2}{3\nu} \frac{\sqrt{3}}{2} (S_{p_1}^\alpha - S_{p_2}^\alpha); \quad (1.14b)$$

à la limite classique nous avons

$$\mathbf{n}_{Xp}^2 = 1 - 2\frac{a^2}{\nu} \mathbf{n}_{Xp}^\alpha \mathbf{l}_{p\alpha} - \frac{a^4}{\nu^2} \mathbf{l}_p^2, \quad (1.15a)$$

$$\mathbf{n}_{Yp}^2 = 1 + 2\frac{a^2}{\nu} \mathbf{n}_{Xp}^\alpha \mathbf{l}_{p\alpha} - \frac{a^4}{\nu^2} \mathbf{l}_p^2, \quad (1.15b)$$

$$\mathbf{n}_{Xp}^\alpha \mathbf{n}_{Yp\alpha} = 2\frac{a^2}{\nu} \mathbf{n}_{Yp}^\alpha \mathbf{l}_{p\alpha}. \quad (1.15c)$$

Comme à la limite continue le couple  $(\mathbf{n}_{Xp}^\alpha, \mathbf{n}_{Yp}^\alpha)$  n'est rien d'autre qu'un *dièdre orthonormé*, introduisons un nouvel opérateur  $\mathbf{n}_{Zp}^\alpha$  tel que le triplet  $(\mathbf{n}_{Xp}^\alpha, \mathbf{n}_{Yp}^\alpha, \mathbf{n}_{Zp}^\alpha)$  forme un *trièdre orthonormé* à la limite continue :

$$\mathbf{n}_{Zp\alpha} \equiv \frac{1}{2} e_{\alpha\beta\gamma} [\mathbf{n}_{Xp}^\beta \mathbf{n}_{Yp}^\gamma - \mathbf{n}_{Yp}^\beta \mathbf{n}_{Xp}^\gamma]; \quad (1.16)$$

en injectant dans (1.16) les expressions (1.14) nous obtenons

$$\mathbf{n}_{Zp\alpha} = \frac{2\sqrt{3}}{3\nu^2} \frac{1}{3} e_{\alpha\beta\gamma} [S_{p_0}^\beta S_{p_1}^\gamma + S_{p_1}^\beta S_{p_2}^\gamma + S_{p_2}^\beta S_{p_0}^\gamma]. \quad (1.17)$$

La *représentation complexe* (1.12a) s'écrit immédiatement

$$\mathbf{n}_p^\alpha = \frac{1}{\sqrt{2}} e^{-i\gamma_p} [\mathbf{n}_{Xp}^\alpha + i \mathbf{n}_{Yp}^\alpha]; \quad (1.18)$$

la *représentation pseudo-scalaire* (1.16) se réécrit alors

$$\mathbf{n}_{Zp\alpha} = \frac{1}{2} i e_{\alpha\beta\gamma} [\mathbf{n}_p^\beta \mathbf{n}_p^\gamma - \mathbf{n}_p^\beta \mathbf{n}_p^\gamma]. \quad (1.19)$$

Conséquence immédiate : pour la théorie des champs ainsi construite le paramètre d'ordre local vit dans  $SO(3)$ , le groupe des rotations dans l'espace Euclidien  $\mathbb{R}^3$ .

Les *spins internes* d'une « sur-particule » ( $p$ ) d'un *réseau triangulaire antiferromagnétique* sont donnés par les relations suivantes :

$$S_{p_0}^{\alpha} = \frac{1}{\sqrt{2}} \nu \left[ e^{+i\gamma_p} n_p^{\alpha} + e^{-i\gamma_p} n_p^{\alpha} \right] + a^2 l_p^{\alpha}, \quad (1.20a)$$

$$S_{p_1}^{\alpha} = \frac{1}{\sqrt{2}} \nu \left[ \bar{w} e^{+i\gamma_p} n_p^{\alpha} + w e^{-i\gamma_p} n_p^{\alpha} \right] + a^2 l_p^{\alpha}, \quad (1.20b)$$

$$S_{p_2}^{\alpha} = \frac{1}{\sqrt{2}} \nu \left[ w e^{+i\gamma_p} n_p^{\alpha} + \bar{w} e^{-i\gamma_p} n_p^{\alpha} \right] + a^2 l_p^{\alpha}. \quad (1.20c)$$

En outre à chaque « sur-particule » ( $p$ ) nous associons la *chiralité*  $\chi_p$  définie par [Siv95, Kaw98]

$$\chi_p \equiv \frac{3\sqrt{3}}{2\nu^3} e_{\alpha\beta\gamma} S_{p_0}^{\alpha} S_{p_1}^{\beta} S_{p_2}^{\gamma}. \quad (1.21)$$

Un calcul rapide montre que la *chiralité*  $\chi_p$  est indépendante du champs de jauge locale  $\gamma_p$ ; nous avons

$$\chi_p = \frac{a^2}{\nu} n_{Zp}^{\alpha} l_{p_\alpha}. \quad (1.22)$$

Cette relation (1.22) nous invite à introduire la *chiralité nue*

$$\hat{\chi}_p \equiv n_{Zp}^{\alpha} l_{p_\alpha} \quad (1.23)$$

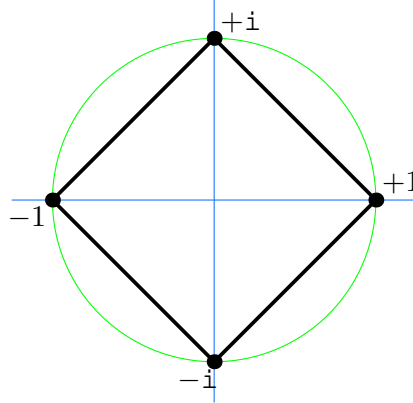
qui décrirait l'état antiferromagnétique de la « sur-particule » : une « sur-particule » idéalement antiferromagnétique (c'est-à-dire « à la Néel ») aurait une *chiralité nue nulle* indépendamment du pas  $a$  du réseau et du nombre quantique  $s$ . La définition d'une *chiralité nue*  $\hat{\chi}_p$  pour une « sur-particule » ( $p$ ) appartenant à un réseau antiferromagnétique assouvi est immédiate. Selon la relation (1.8b), les « sur-particules » de la *chaîne antiferromagnétique* ont une *chiralité nue nulle*.

## 2.4 Cas d'un système assouvi : le réseau carré

Le *réseau carré* est pavé avec le 2-cube  $C^1$  représenté dans l'*algèbre réelle à divisions*  $\mathbb{C}$  par le quadruplet

$$C^1 = \{+1, +i, -1, -i\}. \quad (1.24)$$

Le carré  $C^1$  est préservé par toutes combinaisons de l'opération de conjugaison et de la rotation  $i$ . Un « sur-réseau » étant choisi, les quatre nœuds d'un « sur-nœud » quelconque ( $p$ ) représenté respectivement par les quatre complexes  $+1, +i, -1$  et  $-i$  seront étiquetés respectivement par  $(p_0), (p_1), (p_2)$  et  $(p_3)$ .

FIGURE 1.8: *Représentation complexe du carré  $C^1$ .*

L'antiopération antiferromagnétique étant la rotation  $-1$ , nous construisons le *paramètre d'ordre antiferromagnétique local*  $\mathbf{n}_p^\alpha$  tel que

$$4\nu\mathbf{n}_p^\alpha = [\mathbf{S}_{p_0}^\alpha + \mathbf{S}_{p_2}^\alpha] - [\mathbf{S}_{p_1}^\alpha + \mathbf{S}_{p_3}^\alpha], \quad (1.25a)$$

la *représentation complexe*  $\mathbf{d}_p^\alpha$  telle que

$$\frac{4}{\sqrt{2}}a\nu\mathbf{d}_p^\alpha = e^{-i\gamma_p} [\mathbf{S}_{p_0}^\alpha + i\mathbf{S}_{p_1}^\alpha - \mathbf{S}_{p_2}^\alpha - i\mathbf{S}_{p_3}^\alpha], \quad (1.25b)$$

et la *représentation triviale*  $\mathbf{l}_p^\alpha$  telle que

$$4a^2\mathbf{l}_p^\alpha = \mathbf{S}_{p_0}^\alpha + \mathbf{S}_{p_1}^\alpha + \mathbf{S}_{p_2}^\alpha + \mathbf{S}_{p_3}^\alpha. \quad (1.25c)$$

À la limite classique les *contraintes* sont :

$$\mathbf{n}_p^2 = 1 - a^2 \mathbf{d}_p^{\alpha\dagger} \mathbf{d}_{p_\alpha} - \frac{a^4}{\nu^2} \mathbf{l}_p^2, \quad (1.26a)$$

$$\mathbf{n}_p^\alpha \mathbf{d}_{p_\alpha} = -\frac{a^2}{\nu} \mathbf{d}_p^\alpha \mathbf{l}_{p_\alpha}, \quad (1.26b)$$

$$\mathbf{n}_p^\alpha \mathbf{l}_{p_\alpha} = \frac{\nu}{4} [\mathbf{d}_p^\alpha \mathbf{d}_{p_\alpha} + {}^\dagger \mathbf{d}_p^{\alpha\dagger} \mathbf{d}_{p_\alpha}]. \quad (1.26c)$$

Le *nombre total de degrés de liberté* (égal à huit) est donc préservé et le paramètre d'ordre antiferromagnétique local  $\mathbf{n}_p^\alpha$  est effectivement normé à la limite continue.

Selon la relation (1.26c) la *chiralité nue*  $\hat{\chi}_p$  d'une «sur-particule» ( $p$ ) du réseau carré est donnée par

$$\hat{\chi}_p = \frac{\nu}{4} [\mathbf{d}_p^\alpha \mathbf{d}_{p_\alpha} + {}^\dagger \mathbf{d}_p^{\alpha\dagger} \mathbf{d}_{p_\alpha}]. \quad (1.27)$$

Aussi si la «sur-particule» ( $p$ ) est idéalement antiferromagnétique (*chiralité nue nulle*), alors  $\mathbf{d}_p^\alpha$  est un dièdre orthogonal et le couple  $(\mathbf{d}_p^\alpha, \mathbf{n}_p^\alpha)$  un trièdre orthogonal à la limite continue. Par conséquent pour la théorie des champs ainsi construite le paramètre d'ordre antiferromagnétique local pertinent vit dans  $\text{SO}(3)$ , comme pour le réseau triangulaire.

Les *spins internes* d'une «sur-particule» ( $p$ ) d'un réseau carré antiferromagnétique sont donnés par les relations suivantes :

$$S_{p_0}^\alpha = \nu \mathbf{n}_p^\alpha + \frac{1}{\sqrt{2}} a\nu \left[ e^{+i\gamma_p} \mathbf{d}_p^\alpha + e^{-i\gamma_p\dagger} \mathbf{d}_p^\alpha \right] + a^2 \mathbf{l}_p^\alpha, \quad (1.28a)$$

$$S_{p_1}^\alpha = -\nu \mathbf{n}_p^\alpha - \frac{1}{\sqrt{2}} a\nu \left[ i e^{+i\gamma_p} \mathbf{d}_p^\alpha - i e^{-i\gamma_p\dagger} \mathbf{d}_p^\alpha \right] + a^2 \mathbf{l}_p^\alpha, \quad (1.28b)$$

$$S_{p_2}^\alpha = \nu \mathbf{n}_p^\alpha - \frac{1}{\sqrt{2}} a\nu \left[ e^{+i\gamma_p} \mathbf{d}_p^\alpha + e^{-i\gamma_p\dagger} \mathbf{d}_p^\alpha \right] + a^2 \mathbf{l}_p^\alpha, \quad (1.28c)$$

$$S_{p_3}^\alpha = -\nu \mathbf{n}_p^\alpha + \frac{1}{\sqrt{2}} a\nu \left[ i e^{+i\gamma_p} \mathbf{d}_p^\alpha - i e^{-i\gamma_p\dagger} \mathbf{d}_p^\alpha \right] + a^2 \mathbf{l}_p^\alpha. \quad (1.28d)$$



## Chapitre 2

# Membranes magnétiques

## 1 Le modèle $\sigma$ non-linéaire

Le modèle  $\sigma$  non-linéaire, ou la forme harmonique pour les mathématiciens, est un outil incontournable en physique théorique et un domaine de recherche en mathématique [Ura93, TN89, Fra91]. En physique de la matière condensée, le modèle  $\sigma$  non-linéaire décrit des matériaux antiferromagnétiques isotropes [Fra91, BP75, Tri79, CHN88, Hal83b].

### 1.1 Préliminaires

Dans le cas présent, le *modèle  $\sigma$  non-linéaire* correspondra à la limite continue du modèle de Heisenberg décrivant un système de spins classiques distribués sur un réseau régulier bidimensionnel et interagissant entre plus proche voisin *a priori*. Le *paramètre d'ordre local* [TK76] d'un tel système peut-être représenté par un vecteur unitaire  $\hat{\mathbf{n}}$  généralement interprété dans la littérature comme une *magnétisation locale* [Nak90] : dans le Chapitre précédent, je montre que la nature du *paramètre d'ordre*  $\hat{\mathbf{n}}$  est plus complexe.

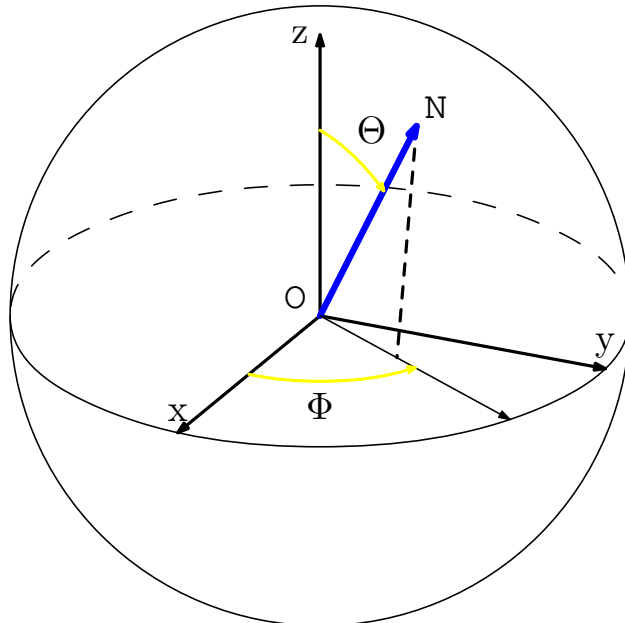


FIGURE 2.1: Le paramètre d'ordre  $\hat{\mathbf{n}}$  : *coordonnées sphériques*.

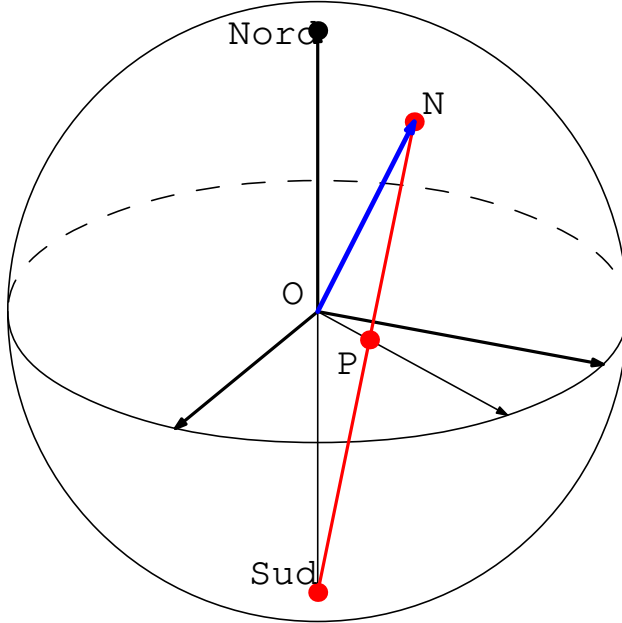


FIGURE 2.2: Le paramètre d'ordre  $\hat{\mathbf{n}}$  : *coordonnées stéréographiques*.

Le *Hamiltonien magnétique*  $\mathcal{H}_{mag}$  d'une *membrane magnétique*  $\mathcal{M}$  sera donc décrite par la fonctionnelle [DVGSB95, VGDSB95, BD98]

$$\mathcal{H}_{mag} = J \iint_{\mathcal{M}} \sqrt{g} d\Omega g^{ij} h_{\alpha\beta} \partial_i n^\alpha \partial_j n^\beta, \quad (2.1)$$

où l'intégrale est prise sur toute la membrane  $\mathcal{M}$ . La constante  $J$  désigne le *couplage spin-spin* isotrope entre plus proches voisins, c'est-à-dire le terme d'*échange électronique* [Lév97] entre deux sites voisins du réseau initial. Les tenseurs métriques  $g_{ij}$  et  $h_{\alpha\beta}$  décrivent respectivement la membrane magnétique  $\mathcal{M}$  et la *variété du paramètre d'ordre*  $\hat{\mathbf{n}}$ , autrement dit la sphère unité  $S^2$ .

Le paramètre d'ordre  $\hat{\mathbf{n}}$ , qui doit satisfaire la contrainte  $\hat{\mathbf{n}}^2 = 1$ , admet deux descriptions naturelles : une *description géométrique* et une *description algébrique*. La *description algébrique* est implicitement utilisée dans le Hamiltonien (2.1), toutefois un système de coordonnées adéquate reste à préciser. Le *paramètre d'ordre*  $\hat{\mathbf{n}}$  est communément représenté par ses *coordonnées sphériques*  $(\Theta, \Phi)$  (FIGURE 2.1) :

$$\hat{\mathbf{n}} = [\sin \Theta \cos \Phi, \sin \Theta \sin \Phi, \cos \Theta]. \quad (2.2)$$

Le paramètre d'ordre  $\hat{\mathbf{n}}$  est ainsi représenté par un point sur la sphère unité  $S^2$  ; par conséquent la métrique  $h$  de la *variété cible* s'écrit

$$h = d\Theta \otimes d\Theta + \sin^2 \Theta d\Phi \otimes d\Phi. \quad (2.3)$$

Le *Hamiltonien magnétique* (2.1) devient alors

$$\mathcal{H}_{mag} = J \iint_{\mathcal{M}} \sqrt{g} d\Omega g^{ij} \left[ \partial_i \Theta \partial_j \Theta + \sin^2 \Theta \partial_i \Phi \partial_j \Phi \right]. \quad (2.4)$$

Sous cette forme, qui incorpore la contrainte du paramètre d'ordre, le caractère non-linéaire de la fonctionnelle (2.1) apparaît ostensiblement.

La *description algébrique* consiste à projeter le paramètre d'ordre  $\hat{\mathbf{n}}$  sur la sphère complexe  $\mathbb{C} \cup \{\infty\}$  via une *projection stéréographique* [Coh67, Nak90]. Rappelons au passage que la *sphère complexe* (ou *de Riemann*) s'obtient par *compactification* du plan complexe  $\mathbb{C}$  : l'ensemble des points situés à l'infini est identifié à un point unique, l'infini. Compte tenu des conventions précédemment employées, il est commode de projeter stéréographiquement la sphère unité  $S^2$  par rapport au pôle sud. Les  *coordonnées stéréographiques* ( $U, V$ ) associées au paramètre d'ordre  $\hat{\mathbf{n}}$  correspondent alors aux coordonnées cartésiennes du point intersection du plan équatorial et de la demi-droite issue du pôle sud passant par le point de coordonnées sphériques  $(\Theta, \Phi)$ , représentant du paramètre d'ordre  $\hat{\mathbf{n}}$  sur la sphère unité  $S^2$  (FIGURE 2.2). Notons que le pôle nord ( $\Theta = 0$ ) se projette sur l'origine, les points de l'équateur ( $\Theta = \pi/2$ ) sur eux-mêmes, et le pôle sud ( $\Theta = \pi$ ) sur le point infini. Des notions élémentaires de géométrie analytique conduisent aux relations de passages suivantes :

$$U = \tan \frac{1}{2}\Theta \cos \Phi, \quad (2.5a)$$

$$V = \tan \frac{1}{2}\Theta \sin \Phi. \quad (2.5b)$$

Au paramètre d'ordre  $\hat{\mathbf{n}}$  est alors associé la variable complexe

$$W \equiv U + iV \quad (2.6a)$$

qui vit effectivement sur la sphère complexe  $\mathbb{C} \cup \{\infty\}$  ; nous lisons

$$W = \tan \frac{1}{2}\Theta e^{i\Phi}. \quad (2.6b)$$

Ici, le Hamiltonien magnétique (2.1) s'écrit immédiatement

$$\mathcal{H}_{mag} = 4J \iint_{\mathcal{M}} \sqrt{g} d\Omega g^{ij} \frac{\partial_i W \partial_j \overline{W}}{\left[1 + W \overline{W}\right]^2} \quad (2.7)$$

en incorporant dans (2.4) l'égalité utile

$$\sin \Theta \partial_i W = W [\partial_i \Theta + i \sin \Theta \partial_i \Phi]. \quad (2.8)$$

## 1.2 Double obstruction topologique : classification de Toulouse-Kléman

Considérons maintenant la membrane  $\mathcal{M}$  comme rien d'autre qu'une variété orientable de dimension 2 fermée ou ouverte qui, si nécessaire, peut-être *compactifiée* en identifiant chacun de ses bords, si cela a un sens, à un point unique ; nous noterons  $M$  la membrane  $\mathcal{M}$  ainsi compactifiée. En d'autres termes, la membrane est momentanément envisagée comme un *objet topologique* : seules nous intéressent ici les propriétés qui ne changent pas lors de *déformations continues*.

Chaque membrane compactifiée  $M$  est ainsi *classée* suivant son *genre topologique*  $g \in \mathbb{N}$  : deux membranes compactifiées  $M$  de même genre topologique  $g$  sont déformables continûment de l'une à l'autre sans introduire aucune déchirure ni trou [Nak90]. Pour illustration : une sphère est de genre topologique 0, un tore de genre topologique 1, deux tores soudés de genre topologique 2, etc. Autrement dit, l'invariant topologique  $g$  verrouille le nombre de trous de la membrane ; nous noterons  $T_g$  la classe d'équivalence de genre topologique  $g$ . La *topologie combinatoire* fournit une relation simple entre la *caractéristique d'Euler* et le *genre topologique* [Nak90] :

$$\chi(T_g) = 2(1 - g); \quad (2.9)$$

tandis que le *théorème de Gauss-Bonnet* affirme [Str61, DFN92, Nak90] :

$$\chi(M) = \frac{1}{2\pi} \iint_M \sqrt{g} d\Omega K \quad (2.10)$$

avec  $K$  la *courbure locale de Gauss* (2.28).

Une approche similaire existe pour les *configurations de spins*. En effet, les configurations continues du paramètre d'ordre  $\hat{n}$  ne sont autres que les fonctions continues qui envoient la membrane compactifiée  $M$  (la variété support) sur la sphère unité  $S^2$  (la variété cible). Or l'ensemble de telles fonctions forme le *groupe de cohomotopie*  $\pi^2(T_g)$ , avec  $g$  le genre topologique de  $M$  : les fonctions continues sont *classées* ici selon leur *classe d'homotopie* [Spa49, Hu59, Nak90]. Conséquence immédiate : si le *groupe de cohomotopie*  $\pi^2(T_g)$  ne se réduit pas au groupe trivial, nous nous attendons à rencontrer une physique exotique. En effet, certains concepts généralement très féconds en physique sont ici infructueux : les perturbations «continues» ou «plastiques» ne permettent pas de sauter d'une *classe de configuration* à une autre. Aussi, la *classification des configurations de spins* suivant leur *classe d'homotopie* s'avère fort légitime, voire essentielle [BP75, Bog76, TK76]. Les configurations de spins homotopes à la configuration de spins dont la fonction continue associée  $\hat{n}$  envoie la membrane compactifiée  $M$  en un point

unique de la sphère unité  $S^2$  (*e.g.* au pôle nord) correspondent aux *configurations triviales*. En fait, l'homologie et la cohomologie nous apprennent que les *groupes de cohomotopie*  $\pi^2(T_g)$  sont isomorphes au groupe des entiers relatifs  $\mathbb{Z}$ . Nous avons effectivement

$$\pi^2(S^2) = \pi_2(S^2) \cong \mathbb{Z}, \quad (2.11)$$

et, en invoquant la *formule de Künneth*,

$$\pi^2(T^2) = \pi^2(S^1 \times S^1) = \pi^1(S^1) \otimes \pi^1(S^1) \cong \mathbb{Z}; \quad (2.12)$$

donc, par *sommation connexe*,

$$\pi^2(T_g) \cong \mathbb{Z} \quad \forall g \in \mathbb{N}. \quad (2.13)$$

L'*invariant topologique* qui verrouille les configurations de spins est l'*indice de Pontrjagin*  $Q$  qui s'écrit

$$Q = \frac{1}{4\pi} \iint_M \sin \Theta \, d\Theta \, d\Phi \quad (2.14)$$

dans le contexte présent [Fel87, Nak90]. Contrairement aux topologues, les physiciens parlent de *charge topologique*; nous noterons  $\pi_{gQ}^2$  la *classe d'équivalence* de charge topologique  $Q$  qui envoie la classe d'équivalence  $T_g$  sur la sphère unité  $S^2$ . Cet *invariant topologique* correspond au nombre de fois que la sphère unité  $S^2$  (la *variété cible*) est recouverte entièrement quand la membrane compactifiée  $M$  (la *variété support*) est parcourue [Fel87]. En adoptant le point de vue originelle, l'*indice de Pontrjagin* décompte les retournements du *paramètre d'ordre*  $\hat{\mathbf{n}}$ . Par conséquent, les *configurations triviales* de spins seront caractérisées par une charge topologique nulle; par contraste, les configurations topologiques auront une charge topologique non-nulle.

Pour résumer, la *membrane magnétique*  $\mathcal{M}$  est caractérisée par deux *invariants topologiques*:

- son *genre topologique*  $g$  qui verrouille sa *configuration spatiale*;
- sa *charge topologique*  $Q$  qui verrouille sa *configuration magnétique*.

Il est évident qu'une modélisation pertinente de la membrane magnétique doit à la fois satisfaire et clarifier cette double *obstruction topologique* dont le mécanisme peut-être schématisé comme suit :

$$\mathcal{M} \xrightarrow[\text{genre topologique } g]{\text{compactification}} M \in T_g \xrightarrow[\text{charge topologique } Q]{\pi^2(T_g) \cong \mathbb{Z}} \hat{\mathbf{n}} \in \pi_{gQ}^2. \quad (2.15)$$

### 1.3 Énergie magnétique : décomposition de Bogomol'nyi

Comme des considérations de symétrie permettent de modéliser de nombreux systèmes physiques à ordre symétrique et d'élaborer des théories physiques [Siv95], des considérations de topologie doivent permettre de décrire des systèmes physiques à ordre topologique [TK76, Mer79, Siv95]. Notons en revanche que, si l'origine des *invariants de symétrie* est acquise, l'émergence d'*invariants topologiques* en physique demeure une énigme [Ryd85]. Il est donc remarquable que nous puissions retrouver le *verrouillage topologique* induit par la distribution de spins à partir du *Hamiltonien magnétique* (2.1) en appliquant une méthode suggérée indépendamment par Belavin et Polyakov [BP75] d'une part, et par Bogomol'nyi [Bog76] d'autre part.

Pour commencer, introduisons le tenseur  $T_i^\alpha$  tel que

$$T_i^\alpha \equiv \frac{1}{\sqrt{2}} [\partial_i n^\alpha - \varepsilon E_i^r F_\kappa^\alpha \partial_r n^\kappa] \quad \varepsilon = \pm 1. \quad (2.16)$$

Les tenseurs  $E_{ij}$  et  $F_{\alpha\beta}$  sont les tenseurs unitaires parfaitement antisymétriques d'ordre deux associés respectivement à la membrane magnétique  $\mathcal{M}$  et à la variété du paramètre d'ordre  $\hat{\mathbf{n}}$ ; nous lisons

$$E_{ij} = \sqrt{g} \epsilon_{ij}, \quad F_{\alpha\beta} = \sqrt{h} \epsilon_{\alpha\beta}, \quad (2.17)$$

avec  $\epsilon_{ab}$  le pseudotenseur unitaire parfaitement antisymétrique. En choisissant pour la variété cible la métrique sphérique (2.3) et en réduisant localement la métrique  $g$  à une métrique orthogonale, il saute aux yeux que le scalaire  $g^{ij} h_{\alpha\beta} T_i^\alpha T_j^\beta$  est positif. Or, puisque  $T_i^\alpha$  est un tenseur, cette propriété reste vraie pour tout autre choix de système de coordonnées. Nous en déduisons que

$$g^{ij} h_{\alpha\beta} T_i^\alpha T_j^\beta \geq 0. \quad (2.18)$$

En outre, le calcul explicite de cette trace donne

$$g^{ij} h_{\alpha\beta} T_i^\alpha T_j^\beta = g^{ij} h_{\alpha\beta} \partial_i n^\alpha \partial_j n^\beta - 2\varepsilon \frac{\sqrt{h}}{\sqrt{g}} \mathcal{J}, \quad (2.19a)$$

où  $\mathcal{J}$  est le Jacobien de la transformation locale  $(x^i) \rightarrow (n^\alpha)$  :

$$\mathcal{J} = \frac{1}{2} \epsilon_{\kappa\lambda} \epsilon^{rs} \partial_r n^\kappa \partial_s n^\lambda. \quad (2.19b)$$

Des relations (2.18) et (2.19a) nous tirsos la précieuse inégalité

$$g^{ij} h_{\alpha\beta} \partial_i n^\alpha \partial_j n^\beta \geq 2\varepsilon \frac{\sqrt{h}}{\sqrt{g}} \mathcal{J}. \quad (2.20)$$

L'intégration membre à membre de l'inégalité (2.20) sur toute la membrane compactifiée  $M$  en adoptant la métrique sphérique (2.3) pour la variété cible nous conduit aisément au point remarquable de la méthode :

$$\iint_M \sqrt{g} d\Omega g^{ij} h_{\alpha\beta} \partial_i n^\alpha \partial_j n^\beta \geq 2\varepsilon \iint_M \sqrt{h} d\Omega \mathcal{J}, \quad (2.21a)$$

$$\geq 2 \left| \iint_M \sin \Theta d\Theta d\Phi \right|, \quad (2.21b)$$

$$\geq 8\pi |Q|, \quad (2.21c)$$

avec  $Q$  l'*indice de Pontrjagin* (2.14). Ayant encore en mémoire l'expression du *Hamiltonien magnétique* (2.1), nous écrivons sans attendre

$$\mathcal{H}_{mag} \geq 8\pi J |Q|. \quad (2.22)$$

Plus prosaïquement, l'énergie magnétique des *configurations de spins* appartenant à une même *classe d'équivalence*  $\pi_{gQ}^2$  est minorée par l'*énergie topologique*

$$\underline{E}_Q \equiv 8\pi J |Q|. \quad (2.23)$$

Qui plus est, par construction, cette *énergie topologique*  $\underline{E}_Q$  n'est atteinte que par les configurations de spins pour lesquelles le tenseur  $T_i{}^\alpha$  se confond avec le tenseur nul : c'est-à-dire, compte tenue de la définition (2.16) du tenseur  $T_i{}^\alpha$ , pour lesquelles le paramètre d'ordre  $\hat{n}$  vérifie les équations

$$\partial_i n^\alpha = \varepsilon E_i{}^r F_\kappa^\alpha \partial_r n^\kappa. \quad (2.24)$$

Si la métrique de la *variété cible* est la métrique sphérique (2.3), les *équations auto-duales* (2.24) se lisent

$$\partial_i \Theta = \varepsilon \sqrt{g} \sin \Theta \epsilon_{ir} \partial^r \Phi; \quad (2.25)$$

tandis que leur versions algébriques s'écrivent

$$\partial_i W = -i\varepsilon \sqrt{g} \epsilon_{ir} \partial^r W. \quad (2.26)$$

Les *configurations topologiques auto-duales* seront donc les *configurations topologiques* qui minimisent l'*énergie magnétique* (2.1). Enfin, l'*énergie topologique*  $E_Q$  s'interprète immédiatement comme l'énergie minimale nécessaire pour retourner  $|Q|$  fois le *paramètre d'ordre*  $\hat{\mathbf{n}}$ , et le facteur  $8\pi J$  comme le *quantum* d'énergie minimale de retournement. Avant de conclure, notons que l'injection de l'égalité (2.19) dans la fonctionnelle originelle (2.1) donne une écriture très pertinente du *Hamiltonien magnétique* [Fel87] :

$$\mathcal{H}_{mag} = J \iint_M \sqrt{g} d\Omega g^{ij} h_{\alpha\beta} T_i{}^\alpha T_j{}^\beta + 8\pi J |Q|. \quad (2.27)$$

Pour résumer, la *décomposition de Bogomol'nyi* montre que le *Hamiltonien magnétique* (2.1) *lève* la *classification topologique* des configurations magnétiques :

- l'énergie magnétique des configurations de spins appartenant à la même *classe d'homotopie* est minorée par l'énergie minimale nécessaire pour retourner le paramètre d'ordre  $\hat{\mathbf{n}}$ ;
- les configurations topologiques qui minimisent l'énergie magnétique vérifient les *équations auto-duales* (équations différentielles du premier ordre).

Un mécanisme comparable existe pour la classification topologique des configurations spatiales.

## 1.4 Énergie de courbure : Hamiltonien de Helfrich-Willmore

Pour commencer, rappelons qu'une surface bidimensionnelle est parfaitement décrite localement par ses deux *courbures principales*  $\lambda_1$  et  $\lambda_2$ . Leur produit

$$K \equiv \lambda_1 \lambda_2 \quad (2.28)$$

est appelé la *courbure locale de Gauss* de la surface, leur moyenne arithmétique

$$H \equiv \frac{1}{2} [\lambda_1 + \lambda_2] \quad (2.29)$$

la *courbure moyenne locale* de la surface.

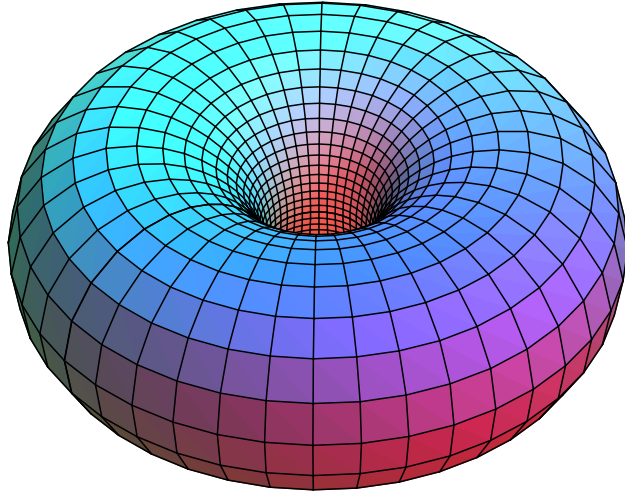


FIGURE 2.3: Le *tore de Clifford* est le tore à symétrie axiale dont le rapport du *rayon axiale*  $r$  sur le *rayon de révolution*  $R$  est égal à  $1/\sqrt{2}$ . Selon une *conjecture due à Willmore* [Wil82], la *fonctionnelle de Willmore* est minimisée soit par le *tore de Clifford* soit par un de ses transformés conformes.

Le Hamiltonien gouvernant la dispersion des *courbures principales* au sens de la théorie des probabilités [Pin86, Wil93]

$$\mathcal{H}_{el} = \frac{1}{2}k_0 \iint_M \sqrt{g} d\Omega \left[ \frac{\lambda_1 - \lambda_2}{2} \right]^2 \quad (2.30)$$

apparaît comme un candidat légitime pour décrire les *déformations continues et localisées* subies par une *membrane souple compactifiée*  $M$  spontanément à *courbure constante*. La constante  $k_0$  sera interprétée comme la *rigidité de courbure nue*. La relation immédiate

$$\left[ \frac{\lambda_1 - \lambda_2}{2} \right]^2 = \left[ \frac{\lambda_1 + \lambda_2}{2} \right]^2 - \lambda_1 \lambda_2, \quad (2.31a)$$

$$= H^2 - K, \quad (2.31b)$$

permet d'écrire le *Hamiltonien élastique naïf* (2.30) sous la forme plus pertinente :

$$\mathcal{H}_{el} = \frac{1}{2}k_0 \iint_M \sqrt{g} d\Omega H^2 - \frac{1}{2}k_0 \iint_M \sqrt{g} d\Omega K. \quad (2.32)$$

D'après le *théorème de Gauss-Bonnet* (2.10), l'intégrale de droite ne dépend que du *genre topologique*  $g$  de la *membrane souple compactifiée*  $M$ . L'intégrale de gauche n'est autre que la *fonctionnelle de Willmore* [Wil82, Wil93] : pour des surfaces à *topologie sphérique* ( $g = 0$ ), elle est minimale (et nulle) pour la membrane plane ; pour des surfaces à *topologie torique* ( $g = 1$ ), elle est minorée par  $4\pi$  et serait minimale (*conjecture due à Willmore* [Wil82]) soit pour le *tore de Clifford* (FIGURE 2.3) soit pour un de ses transformés conformes. Ainsi le *Hamiltonien élastique naïf* (2.30) ne convient-il plus pour décrire des *déformations continues et localisées* endurées par une membrane souple compactifiée  $M$  de topologie non sphérique ( $g \neq 0$ ). En introduisant une *courbure moyenne spontanée* non nulle  $H_0$ , Helfrich [Hel73, Fou92] obtient un *Hamiltonien élastique* plus adéquate :

$$\mathcal{H}_{el} = \frac{1}{2}k_c \iint_M \sqrt{g} d\Omega [H - H_0]^2 - \frac{1}{2}k_g \iint_M \sqrt{g} d\Omega K, \quad (2.33)$$

où la *rigidité de courbure nue*  $k_0$  a été renormalisée. La constante  $k_c$  désigne la *rigidité de courbure*,  $k_g$  la *rigidité topologique*. Dorénavant, par *Hamiltonien élastique*  $\mathcal{H}_{el}$  nous entendrons le Hamiltonien heuristique (2.33). En vertu du *théorème de Gauss-Bonnet* (2.10) et de la relation (2.9), le *Hamiltonien de Helfrich-Willmore* (2.33) se lit

$$\mathcal{H}_{el} = \frac{1}{2}k_c \iint_M \sqrt{g} d\Omega [H - H_0]^2 + 2\pi k_g (g - 1). \quad (2.34)$$

Cette écriture du *Hamiltonien élastique*  $\mathcal{H}_{el}$  doit être comparée avec l'écriture (2.27) du *Hamiltonien magnétique*  $\mathcal{H}_{mag}$ , et réciproquement. En regard de quoi, la *courbure spontanée*  $H_0$  qui doit décrire les propriétés physiques de la membrane souple  $M$  correspondra dans la suite du Chapitre à la courbure moyenne d'une surface choisie *a priori* arbitrairement comme étant effectivement la *forme spontanée* de la membrane compactifiée  $M$ . Dans ce cas restrictif, le *Hamiltonien magnétique* (2.34) se contente de décrire des *déformations de faible amplitude*, et les *courbures renormalisées*  $k_c$  et  $k_g$  dépendent clairement de ce choix arbitraire.

Pour résumer, nous pouvons construire un *Hamiltonien élastique* qui *lève* la *classification topologique* des configurations spatiales :

- l'*énergie élastique* est minorée par l'*énergie minimale* requise pour créer un trou topologique ;
- les *formes topologiques* qui minimisent l'*énergie élastique* correspondent aux *formes spontanées* de la *membrane compactifiée*  $M$ .

## 1.5 Frustration géométrique

Dans les parties antérieures nous montrons qu'une membrane magnétique  $\mathcal{M}$  se caractérise par une double *classification topologique*, chacune étant levée par un Hamiltonien :

- le Hamiltonien élastique  $\mathcal{H}_{el}$  engendre des *formes homéomorphes* à des *formes spontanées* pour lesquelles l'*énergie de courbure*  $E_{el}$  est saturée ;
- le *Hamiltonien magnétique*  $\mathcal{H}_{mag}$  génère des *configurations de spins homotopes* à des *configurations topologiques auto-duales* pour lesquelles l'*énergie magnétique*  $E_{mag}$  est saturée.

Ainsi à la double obstruction topologique (2.15) correspond-t-il la double levée topologique suivante :

$$\mathcal{M} \xrightarrow[\text{forme spontanée}]{\mathcal{H}_{el}} M \in T_g \xrightarrow[\text{configuration auto-duale}]{\mathcal{H}_{mag}} \hat{\mathbf{n}} \in \pi_{gQ}^2. \quad (2.35)$$

Généralement, le *Hamiltonien total*  $\mathcal{H}$  d'une membrane magnétique  $\mathcal{M}$  est défini comme la somme de trois Hamiltoniens :

$$\mathcal{H} \equiv \mathcal{H}_{mag} + \mathcal{H}_{el} + \mathcal{H}_{m-el}, \quad (2.36)$$

où  $\mathcal{H}_{mag}$ ,  $\mathcal{H}_{el}$  et  $\mathcal{H}_{m-el}$  représentent, respectivement, le *Hamiltonien magnétique*, *élastique* et *magnéto-élastique*. Or, pour un système quasi-unidimensionnel, l'addition d'un terme de *couplage spin-élasticité* revient à renormaliser la constante  $J$  de *couplage spin-spin* [CT80]. Nous définirons donc le *Hamiltonien total*  $\mathcal{H}$  de la membrane magnétique compactifiée  $M$  comme la somme du *Hamiltonien magnétique* (2.1) et du *Hamiltonien élastique* (2.33) ; des expressions (2.27) et (2.34) nous tirons la formule

$$\begin{aligned} \mathcal{H} = k_c \iint_M \sqrt{g} d\Omega & \left[ \kappa g^{ij} h_{\alpha\beta} T_i{}^\alpha T_j{}^\beta + \frac{1}{2} [H - H_0]^2 \right] \\ & + 8\pi J |\mathbf{Q}| + 2\pi k_g (g - 1), \end{aligned} \quad (2.37)$$

où nous avons introduit la *constante relative de couplage*  $\kappa \equiv J/k_c$ . L'écriture (2.37) du Hamiltonien total  $\mathcal{H}$  place pertinemment sur un même pied les *interactions élastique* et *magnétique* : la métrique  $g_{ij}$  et le paramètre d'ordre  $\hat{\mathbf{n}}$  interagissent. Par *configuration géométrique* nous désignerons un couple  $(g_{ij}, \hat{\mathbf{n}})$  qui minimise le *Hamiltonien total*  $\mathcal{H}$ , c'est-à-dire un couple  $(g_{ij}, \hat{\mathbf{n}})$  solution des *équations d'Euler-Lagrange* déduites du Hamiltonien  $\mathcal{H}$ . Ainsi la double levée topologique (2.35) se combine-t-elle en une levée double :

$$\mathcal{M} \xrightarrow[\text{configuration géométrique}]{\mathcal{H}} (g_{ij}, \hat{\mathbf{n}}) \in T_g \times \pi_{gQ}^2. \quad (2.38)$$

*A priori* les *configurations géométriques* ( $g_{ij}, \hat{\mathbf{n}}$ ) ne saturent pas le *Hamiltonien total*  $\mathcal{H}$  : les configurations géométriques dont l'énergie totale  $E$  est supérieure à l'*énergie minimum minimorum topologique*

$$\underline{E} \equiv 8\pi J |\mathbf{Q}| + 2\pi k_g (g - 1) \quad (2.39)$$

sont dites *frustrées*. Cette *frustration géométrique* apparaît clairement comme la compétition entre les deux *ordres topologiques*, et l'excès d'énergie qui la caractérise comme une énergie d'*interaction topologique*.

Pour résumer, le *Hamiltonien total*  $\mathcal{H}$  combine la double *classification topologique* de la *membrane magnétique souple compactifiée*  $M$  :

- l'énergie des configurations géométriques appartenant à la même *classe d'homotopie* est minorée par l'*énergie minimum minimorum topologique*  $\underline{E}$  nécessaire pour retourner le paramètre d'ordre  $\hat{\mathbf{n}}$  et pour former les trous topologiques ;
- une *frustration géométrique* émerge *a priori* de la compétition entre les deux ordres topologiques, les configurations géométriques (qui vérifient les *équations d'Euler-Lagrange* déduites de  $\mathcal{H}$ ) ne minimisant pas nécessairement *a priori* l'*énergie magnétique* et/ou l'*énergie élastique*.

Il est évident que des illustrations simples doivent permettre de clarifier le mécanisme de cette frustration géométrique.

## 2 Membranes de topologie sphérique

Dans cette partie, nous envisageons des membranes magnétiques souples compactifiées de genre topologique sphérique et de forme spontanée simple : des brisures de symétrie successives révèlent une physique de plus en plus exotique.

Je met en évidence le mécanisme de la *frustration géométrique* en gelant une configuration magnétique de la *membrane souple rigidifiée*.

### 2.1 La sphère : une forte dégénérescence

Pour une *membrane souple rigidifiée* ( $k_c = \infty$ ), le *Hamiltonien total*  $\mathcal{H}$  se réduit au *Hamiltonien magnétique*  $\mathcal{H}_{mag}$  : les *configurations géométriques* se confondent alors avec les configurations topologiques auto-duales.

Une représentation naturelle de la sphère rigide, en *coordonnées sphériques*  $(\rho, \theta, \varphi)$ , est

$$\rho = r, \quad (2.40)$$

avec  $r$  le rayon de la sphère rigide. La métrique de la membrane magnétique s'écrit alors

$$g = r^2 \left[ d\theta \otimes d\theta + \sin^2 \theta \, d\varphi \otimes d\varphi \right]; \quad (2.41)$$

ainsi  $g^{\theta\varphi} = g^{\varphi\theta} = 0$  et nous avons

$$g^{\theta\theta} \sqrt{g} = \sin \theta, \quad g^{\varphi\varphi} \sqrt{g} = \frac{1}{\sin \theta}. \quad (2.42)$$

Aussi l'expression (2.4) du *Hamiltonien magnétique* s'écrit

$$\mathcal{H}_{mag} = J \int_0^{+\pi} d\theta \int_{-\pi}^{+\pi} d\varphi \left[ \left[ \sin \theta \, \Theta_\theta^2 + \frac{\sin^2 \Theta}{\sin \theta} \, \Phi_\varphi^2 \right] + \left[ \frac{\Theta_\varphi^2}{\sin \theta} + \sin \theta \, \sin^2 \Theta \, \Phi_\theta^2 \right] \right], \quad (2.43)$$

où les indices représentent les dérivés partielles. Notons que la densité Hamiltonienne magnétique de la *sphère rigide magnétique* est indépendante du rayon  $r$  de la sphère. De la fonctionnelle (2.43) nous tirons aisément les *équations auto-duales* de la *sphère rigide magnétique* :

$$\sin \theta \, \Theta_\theta = -\varepsilon \, \sin \Theta \, \Phi_\varphi, \quad (2.44a)$$

$$\Theta_\varphi = -\varepsilon \, \sin \theta \, \sin \Theta \, \Phi_\theta. \quad (2.44b)$$

Leur *versions algébriques* prennent la forme

$$U_u = +\varepsilon V_v, \quad (2.45a)$$

$$U_v = -\varepsilon V_u. \quad (2.45b)$$

Les nouvelles coordonnées  $(u, v)$  correspondent aux *coordonnées stéréographiques* par rapport au pôle sud de la sphère rigide projetée sur la sphère unité  $S^2$ ; nous lisons

$$u = \tan \frac{1}{2}\theta \cos \varphi, \quad (2.46a)$$

$$v = \tan \frac{1}{2}\theta \sin \varphi. \quad (2.46b)$$

Reconnaissant le *critère de Cauchy-Riemann*, nous affirmons que  $W$  est une *fonction méromorphe* [WW52] de la variable complexe  $w \equiv u + \varepsilon iv$ , le signe  $\varepsilon$  correspondant au signe de la *charge topologique*  $Q$ . Par conséquent, il existe une infinité de *configuration topologique auto-duale* sur la sphère magnétique rigide; la configuration topologique auto-duale  $W(w) = w$  est communément appelée la «*configuration hérisson*» [Fra91, Tho98].

Par la suite, la recherche de *configurations symétriques* permet de maintenir les calculs abordables. Dans le cas présent, il s'agit de choisir arbitrairement un des axes de rotation de la sphère spontanée puis de rechercher les *configurations symétriques* suivant cet axe.

Compte tenu des conventions déjà utilisées et en introduisant la nouvelle coordonnée  $\zeta \equiv \pi/2 - \theta$  afin de souligner la symétrie par rapport au plan équatorial, les *configurations symétriques* sont ici telles que

$$\Theta_\varphi = \Phi_\zeta = 0 \quad (2.47)$$

avec comme *conditions aux pôles*

$$\Theta(\zeta = -\frac{\pi}{2}) = 0 \quad \text{et} \quad \Theta(\zeta = +\frac{\pi}{2}) = 0 [\pi]. \quad (2.48)$$

Le *Hamiltonien magnétique* (2.43) s'écrit alors

$$\mathcal{H}_{mag} = J \int_{-\frac{\pi}{2}}^{+\frac{\pi}{2}} d\zeta \int_{-\pi}^{+\pi} d\varphi \left[ \cos \zeta \Theta_\zeta^2 + \frac{\sin^2 \Theta}{\cos \zeta} \Phi_\varphi^2 \right]. \quad (2.49)$$

Les *équations d'Euler-Lagrange* des configurations symétriques qui extrémisent le Hamiltonien magnétique ( $\delta \mathcal{H}_{mag} = 0$ ) sur la *sphère rigide magnétique* se déduisent de (2.49) sans difficulté :

$$\Phi_{\varphi\varphi} = 0, \quad (2.50a)$$

$$\cos \zeta d\zeta [\cos \zeta \Theta_\zeta] = \sin \Theta \cos \Theta \Phi_\varphi^2. \quad (2.50b)$$

L'intégration de l'équation (2.50a) est immédiate :

$$\Phi_\varphi = \mathbf{q}_\varphi \quad \mathbf{q}_\varphi \in \mathbb{Z}; \quad (2.51a)$$

par conséquent (2.50b) devient

$$\cos \zeta \, d_\zeta [\cos \zeta \, \Theta_\zeta] = \mathbf{q}_\varphi^2 \sin \Theta \cos \Theta. \quad (2.51b)$$

Cette nouvelle équation (2.51b) s'intègre sans effort en multipliant ses deux membres par  $\Theta_\zeta$  ; nous lisons

$$\cos^2 \zeta \, \Theta_\zeta^2 = \mathbf{q}_\varphi^2 \sin^2 \Theta + \tilde{m} \quad \tilde{m} \in [0, +\infty[. \quad (2.52a)$$

Or les *conditions aux pôles* (2.48) imposent

$$\tilde{m} = 0, \quad (2.52b)$$

aussi nous aurions dû lire

$$\cos \zeta \, \Theta_\zeta = \varepsilon \mathbf{q}_\varphi \sin \Theta. \quad (2.52c)$$

Conséquence immédiate : les *configurations auto-duales* recouvrent toutes les *configurations magnétiques symétriques* puisque (2.51a) et (2.52c) vérifient sans équivoque l'équation auto-duale (2.44a). Des calculs analytiques fastidieux montrent que l'*écriture algébrique* des configurations magnétiques auto-duales est de la forme

$$W(w) = w^{\mathbf{q}_\varphi}. \quad (2.53)$$

Pour  $\varepsilon \mathbf{q}_\varphi = 1$ , nous retrouvons la « *configuration hérisson* »

$$\Theta = \frac{\pi}{2} - \zeta = \theta. \quad (2.54)$$

En outre, des calculs ennuyeux de géométrie différentielle montrent que les *déformations symétriques* de la sphère souple sont d'ordre trois au moins : les *configurations magnétiques symétriques* ne déformeront donc pas une *sphère souple suffisamment rigide* ( $\kappa \approx 1$ ). Autrement dit, les configurations géométriques symétriques de la sphère souple magnétique ne sont pas *frustrées*.

## 2.2 Le cylindre infini : des solitons assouvis

Considérons maintenant une *membrane magnétique souple compactifiée* M toujours de *genre topologique sphérique* mais dont la forme spontanée n'admet qu'un seul axe de révolution : une section de cylindre droit.

En *coordonnées cylindriques*  $(\rho, \varphi, z)$ , une telle *membrane rigidifiée* est parfaitement décrite par

$$\rho = r, \quad (2.55a)$$

$$-\Delta z \leq z \leq +\Delta z, \quad (2.55b)$$

où les constantes réelles positives  $r$  et  $\Delta z$  sont respectivement le rayon du cylindre et la demi-longueur de la section. La métrique de la membrane magnétique est alors de la forme

$$g = r^2 d\varphi \otimes d\varphi + dz \otimes dz; \quad (2.56)$$

aussi  $g^{\varphi z} = g^{z\varphi} = 0$  et nous avons

$$g^{\varphi\varphi} \sqrt{g} = \frac{1}{r}, \quad g^{zz} \sqrt{g} = r. \quad (2.57)$$

D'emblée nous étudions les *configurations symétriques* telles que

$$\Theta_\varphi = \Phi_z = 0; \quad (2.58)$$

dans ces conditions le *Hamiltonien magnétique* (2.4) s'écrit

$$\mathcal{H}_{mag} = J \int_{-\Delta z}^{+\Delta z} dz \int_{-\pi}^{+\pi} d\varphi \left[ r \Theta_z^2 + \frac{\sin^2 \Theta}{r} \Phi_\varphi^2 \right]. \quad (2.59)$$

Une expression sans dimension de (2.59) s'obtient en effectuant un changement d'échelle suivant l'axe des  $z$  :

$$\mathcal{H}_{mag} = J \int_{-\Delta\zeta}^{+\Delta\zeta} d\zeta \int_{-\pi}^{+\pi} d\varphi \left[ \Theta_\zeta^2 + \sin^2 \Theta \Phi_\varphi^2 \right], \quad (2.60)$$

avec

$$\zeta \equiv z/r \quad \text{et} \quad \Delta\zeta \equiv \Delta z/r. \quad (2.61)$$

Enfin, la membrane magnétique est *compactifiée* en imposant une densité Hamiltonienne nulle aux bords :

$$\Theta_\zeta (\zeta = \pm\Delta\zeta) = 0, \quad (2.62a)$$

$$\Theta (\zeta = -\Delta\zeta) = 0 \quad \text{et} \quad \Theta (\zeta = +\Delta\zeta) = 0 [\pi]. \quad (2.62b)$$

Les *équations auto-duales symétriques* d'une section du cylindre magnétique rigide se déduisent facilement de la fonctionnelle (2.60) :

$$\Theta_\zeta = \varepsilon \sin \Theta \Phi_\varphi. \quad (2.63)$$

En outre les relations (2.58) imposent le dédoublement

$$\Phi_\varphi = q_\varphi, \quad (2.64a)$$

$$\Theta_\zeta = \varepsilon q_\varphi \sin \Theta, \quad (2.64b)$$

avec  $q_\varphi \in \mathbb{Z}$ . Enfin la solution de l'équation (2.64b) est le *soliton*

$$\Theta(\zeta) = 2 \arctan [\exp(\varepsilon q_\varphi \zeta)]. \quad (2.65a)$$

Par conséquent les *conditions aux bords* (2.62) ne sont satisfaites que si

$$\Delta\zeta = +\infty, \quad (2.65b)$$

les solitons (2.65a) recouvrant alors  $|q_\varphi|$  fois la sphère unité  $S^2$ . En d'autres termes, seul le cylindre de longueur infinie admet des *configurations magnétiques auto-duales symétriques*. Avant d'approfondir le cas des cylindres de longueur finie,achevons celui du cylindre infini.

Puisque, compte tenu du changement d'échelle (2.61) et de l'expression des *solitons magnétiques* (2.65), le rayon  $r$  et la coordonnée  $z$  apparaissent respectivement comme le *paramètre de forme pertinent* et la *coordonnée curviligne pertinente*, le rayon  $r$  de la membrane souple rigidifiée doit être libéré suivant l'axe des  $z$  :

$$r(z) = r_0 [1 + \Lambda(z)], \quad (2.66)$$

où  $r_0$  représente le *rayon spontané* et la fonction  $\Lambda$  la *déformation continue locale*. L'orthogonalité de la métrique rigidifiée est conservée tandis que les formules (2.57) deviennent

$$g^{\varphi\varphi} \sqrt{g} = \frac{\sqrt{1 + r_0^2 \Lambda_z^2}}{r}, \quad g^{zz} \sqrt{g} = \frac{r}{\sqrt{1 + r_0^2 \Lambda_z^2}}. \quad (2.67)$$

Considérant des *déformations continues de faible amplitude*, nous développons la densité du *Hamiltonien élastique* (2.34) jusqu'à l'ordre deux en  $\Lambda$ ,  $\Lambda_z$  et  $\Lambda_{zz}$  :

$$\mathcal{H}_{el} = \frac{1}{8} \pi k_c \int_{-\Delta\zeta}^{+\Delta\zeta} d\zeta \Lambda^2, \quad (2.68)$$

avec des notations naturelles et en omettant le terme topologique.

Si une des configurations magnétiques de la membrane souple M rigidifiée est *gelée*, le *Hamiltonien magnétique*  $\mathcal{H}_{mag}$  de la membrane souple M devient alors une fonctionnelle de la seule *déformation*  $\Lambda$ . Dans ce contexte les déformations  $\Lambda$  qui minimisent le Hamiltonien total  $\mathcal{H}$  permettent de se faire une idée des *déformations effectivement induites* par la distribution de spins et subies par la *membrane souple compactifiée* M.

Pour la métrique souple (2.67), un développement limité de la densité du *Hamiltonien magnétique* (2.4) jusqu'à l'ordre deux en  $\Lambda$  et  $\Lambda_z$  donne :

$$\begin{aligned} \mathcal{H}_{mag} = J \int_{-\Delta\zeta}^{+\Delta\zeta} d\zeta \int_{-\pi}^{+\pi} d\varphi & \left[ [\Theta_\zeta^2 + \sin^2 \Theta \Phi_\varphi^2] \right. \\ & \left. - \left( -\Lambda + \frac{1}{2}\Lambda_\zeta^2 \right) [\Theta_\zeta^2 - \sin^2 \Theta \Phi_\varphi^2] + \Lambda^2 \sin^2 \Theta \Phi_\varphi^2 \right], \quad (2.69) \end{aligned}$$

pour une *configuration magnétique symétrique gelée* quelconque. Dès lors les déformations  $\Lambda$  induites par les solitons magnétiques (2.65) *gelés* et subies par le cylindre souple magnétique infini doivent extrémiser le *Hamiltonien total*

$$\mathcal{H} = 2\pi J q_\varphi^2 \int_{-\infty}^{+\infty} d\zeta \left[ [2 + \Lambda^2] \sin^2 \Theta + \frac{1}{16\kappa q_\varphi^2} \Lambda^2 \right], \quad (2.70)$$

somme du Hamiltonien élastique (2.68) et du Hamiltonien magnétique (2.69) pour ces configurations magnétiques. Or il apparaît clairement que seule la *déformation triviale*  $\Lambda = 0$  minimise cette fonctionnelle (2.70) : les *solitons magnétiques* (2.65) ne déforment pas le cylindre souple magnétique infini.

### 2.3 Sections de cylindre : déformation solitonique

Dans la section précédente, nous montrons qu'il n'existe pas de configuration magnétique symétrique auto-duale sur les sections finies de cylindre magnétique rigide : ce n'est pas pour autant qu'il n'existe pas de *configuration topologique symétrique*.

De telles configurations doivent satisfaire les *conditions aux bords* (2.62) et minimiser le *Hamiltonien magnétique* (2.60), c'est-à-dire vérifier les *équations d'Euler-Lagrange*

$$\Phi_{\varphi\varphi} = 0, \quad (2.71a)$$

$$\Theta_{\zeta\zeta} = \sin \Theta \cos \Theta \Phi_{\varphi}^2. \quad (2.71b)$$

L'équation (2.71a) s'intégrant sans effort, nous écrivons

$$\Phi_{\varphi} = q_{\varphi}, \quad (2.72a)$$

$$\Theta_{\zeta\zeta} = q_{\varphi}^2 \sin \Theta \cos \Theta, \quad (2.72b)$$

avec  $q_{\varphi} \in \mathbb{Z}$  le nombre de recouvrement de la sphère unité  $S^2$  autour de l'axe de révolution. Notons au passage que ce système dédoublé (2.72) reproduit le dédoublement auto-dual (2.64). De surcroît l'équation (2.72b), au changement d'échelle  $\varrho \equiv q_{\varphi}\zeta$  près, n'est rien d'autre que l'*équation simple de sinus-Gordon* (SG)<sup>1</sup> ; la solution de l'équation (2.72b) est donc le *soliton périodique*

$$\Theta(\zeta) = \varepsilon \alpha(q_{\varphi}\zeta \mid \tilde{m}) - \frac{\pi}{2} \delta_{\text{paire}, q_{\zeta}}, \quad (2.73a)$$

avec  $q_{\zeta} \in \mathbb{Z}$  le nombre de recouvrement de la sphère unité  $S^2$  le long de l'axe de révolution. Les *conditions aux bords* (2.62b) ne sont satisfaites que si le *paramètre*  $\tilde{m}$  vérifie

$$\tilde{m} = K_{\alpha}^{-1} \left( \left| \frac{q_{\varphi}}{q_{\zeta}} \right| \Delta \zeta \right), \quad (2.73b)$$

les *solitons périodiques* (2.73a) ayant alors la *charge topologique*

$$Q = q_{\varphi} q_{\zeta}. \quad (2.73c)$$

Observons pour finir que les résultats du *cylindre rigide infini* se retrouvent aisément en faisant tendre  $\Delta\zeta$  vers l'infini, tandis que le rayon  $r$  et la coordonnée  $z$  gardent leur pertinence.

<sup>1</sup>Le lecteur est invité à consulter l'Annexe A pour se familiariser (rapidement) avec l'*équation de sinus-Gordon* et les notations utilisées.

Néanmoins, pour le lecteur averti :  $\alpha(\cdot \mid \tilde{m})$  correspond à la solution croissante de l'*équation simple de sinus-Gordon* (SG) localisée à l'origine et caractérisée par le *paramètre*  $\tilde{m}$ , la *quasi quart-période de sinus-Gordon*  $K_{\alpha}$  vérifiant  $K_{\alpha}(\tilde{m}) = K(1 + \tilde{m})$  avec  $K$  l'intégrale elliptique de première espèce.

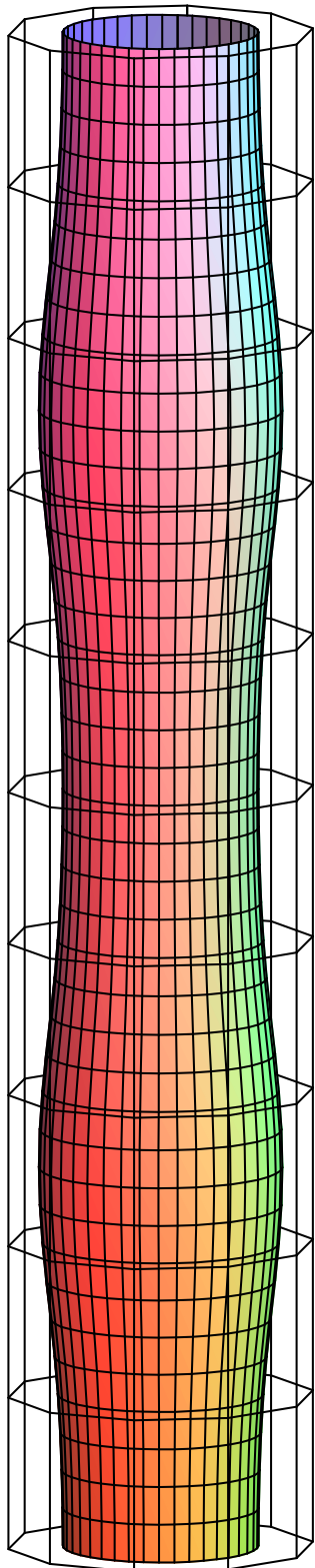


FIGURE 2.4: *Déformation symétrique* d'une section de cylindre magnétique souple en présence d'un  $2\pi$ -soliton magnétique (2.73) : l'unité de longueur est le rayon  $r$  de la section rigidifiée (représentée par la grille extérieure), la demi-longueur relative  $\Delta\zeta \equiv \Delta z/r$  est égale à 5, la constante relative de couplage  $\kappa \equiv J/k_c$  à 1/2, enfin la déformation locale  $\Lambda$  est magnifiée par un facteur 10.

Le *soliton frustré* se libère en rétrécissant globalement la membrane magnétique ; les deux renflements correspondent aux deux vagues du soliton : son énergie magnétique  $E_{mag}$  s'y concentrant indépendamment de la géométrie de la membrane, il refoule l'énergie magnétique accumulée en ses branches.

Afin d'étudier la *frustration géométrique* des solitons magnétiques (2.73), introduisons  $\mathcal{E}_{mag}$  le rapport de leur énergie magnétique  $E_{mag}$  sur leur énergie topologique  $\underline{E}_Q$  (2.23) :

$$\mathcal{E}_{mag} \equiv \frac{E_{mag}}{\underline{E}_Q}. \quad (2.74)$$

Le calcul explicite de  $\mathcal{E}_{mag}$  donne

$$\mathcal{E}_{mag} = E(1 + \tilde{m}) + \frac{1}{2}\tilde{m} K(1 + \tilde{m}), \quad (2.75a)$$

$$= \sqrt{1 + \tilde{m}} \left[ E\left(\frac{1}{1 + \tilde{m}}\right) - \frac{1}{2} \frac{\tilde{m}}{1 + \tilde{m}} K\left(\frac{1}{1 + \tilde{m}}\right) \right], \quad (2.75b)$$

où les fonctions  $K$  et  $E$  désignent respectivement l'intégrale elliptique de première et de seconde espèce [WW52, Law89]. L'énergie relative  $\mathcal{E}_{mag}$  des solitons magnétiques (2.73) ne dépend ainsi que du paramètre  $\tilde{m}$ . Qui plus est,  $\mathcal{E}_{mag}$  croît strictement de 1 vers  $\infty$  lorsque  $\tilde{m}$  varie de 0 vers  $\infty$ . Le paramètre  $\tilde{m}$  se révèle donc comme le *paramètre pertinent* de la *frustration géométrique* : plus  $\tilde{m}$  est grand plus les solitons magnétiques (2.73) sont *frustrés*, le cas  $\tilde{m} = 0$  correspondant à un système assouvi. Rétrospectivement la relation (2.73b) permet de mieux saisir le mécanisme de frustration des sections finies de cylindre magnétique rigide : les solitons magnétiques (2.73) tendent à se retourner autour de l'axe de révolution ( $|\mathbf{q}_\varphi|$  grand) et à s'étendre le long de l'axe de révolution ( $|\mathbf{q}_\zeta|$  petit et  $\Delta\zeta$  grand). Conséquence immédiate : les solitons magnétiques (2.73) sont frustrés parce que *confinés* ( $\Delta\zeta < \infty$ ).

Maintenant les *déformations*  $\Lambda$  subies par les sections de cylindre souples magnétiques et induites par les solitons magnétiques frustrés (2.73) *gelés* doivent extrémiser le Hamiltonien total

$$\begin{aligned} \mathcal{H} = 2\pi J \mathbf{q}_\varphi^2 \int_{-\Delta\zeta}^{+\Delta\zeta} d\zeta & \left[ (2 + \tilde{m}) - \tilde{m} \left[ -\Lambda + \frac{1}{2} \Lambda_\zeta^2 \right] \right. \\ & \left. - (1 + \tilde{m}) \left[ 2 + \Lambda^2 \right] \operatorname{sn}^2(\mathbf{q}_\varphi \zeta | 1 + \tilde{m}) + \left( 1 + \frac{1}{16\kappa \mathbf{q}_\varphi^2} \right) \Lambda^2 \right], \quad (2.76) \end{aligned}$$

qui doit être lu comme la version frustrée du Hamiltonien total (2.70). Les *équations d'Euler-Lagrange* de cet Hamiltonien (2.76) prennent la forme

$$\Lambda_{\varrho\varrho} + \left[ (1 + m)A - mB \operatorname{sn}^2(\varrho | m) \right] \Lambda = \sqrt{m} j, \quad (2.77a)$$

où nous avons posé

$$m = 1 + \tilde{m}, \quad (2.77\text{b})$$

$$A = \frac{2}{\tilde{m}q_\varphi^2} \left[ 1 + \frac{1}{16\kappa q_\varphi^2} \right], \quad (2.77\text{c})$$

$$B = \frac{2}{\tilde{m}q_\varphi^2}, \quad (2.77\text{d})$$

$$j = \frac{-1}{q_\varphi^2 \sqrt{1 + \tilde{m}}}. \quad (2.77\text{e})$$

Ici nous avons également introduit la nouvelle variable  $\varrho \equiv q_\varphi \zeta$ . L'équation différentielle linéaire inhomogène du second ordre (2.77) n'est rien d'autre l'*équation inhomogène de Lamé* (IL) avec un terme inhomogène constant<sup>2</sup>; une solution raisonnable de l'équation (2.77) est donc la *déformation solitonique*

$$\Lambda(\zeta) = L(q_\varphi \zeta \mid 1 + \tilde{m}; A, B, j). \quad (2.78)$$

La *frustration géométrique* apparaît ostensiblement dans l'équation d'Euler-Lagrange (2.77) :  $\Lambda = 0$  n'est pas solution. Concentrons-nous à présent sur le mécanisme de déformation. D'après les relations (2.61), (2.73b) et (2.75) nous savons que l'*énergie magnétique*  $E_{mag}$  des solitons (2.73) décroît en fonction du rayon  $r$  : les solitons tendent à rétrécir radialement la section de cylindre souple magnétique. D'un autre côté le Hamiltonien élastique (2.68) essaie de maintenir sa forme spontanée. Par conséquent la compétition entre l'*énergie magnétique* et l'*énergie élastique* se traduit par une réduction du rayon  $r$ . Or l'*énergie du soliton* est essentiellement localisée sur sa *vague* ( $\Theta$  proche de  $\frac{\pi}{2}$ ) selon (2.60) : la déformation est ainsi moins importante sur la vague du soliton puisque l'énergie élastique est isotrope. Pour interpréter les conséquences géométriques de cette *libération géométrique* définissons la *dilatation relative du cylindre*  $\lambda_C$  par

$$\lambda_C \equiv \frac{r}{r_0} = 1 + \Lambda. \quad (2.79)$$

---

<sup>2</sup>Le lecteur est encouragé à lire l'Annexe B qui aborde l'*équation inhomogène de Lamé* (IL) en se bornant au contexte rencontré.

Toutefois, pour le lecteur averti :  $L(\cdot \mid m; A, B, j)$  désignera la fonction (bornée) associée à la solution minimale de l'équation aux différences linéaire du second ordre déduite de l'*équation inhomogène de Lamé* (IL) suivant la méthode communément utilisée pour construire les fonctions dites de Lamé (solutions de l'*équation homogène de Lamé*).

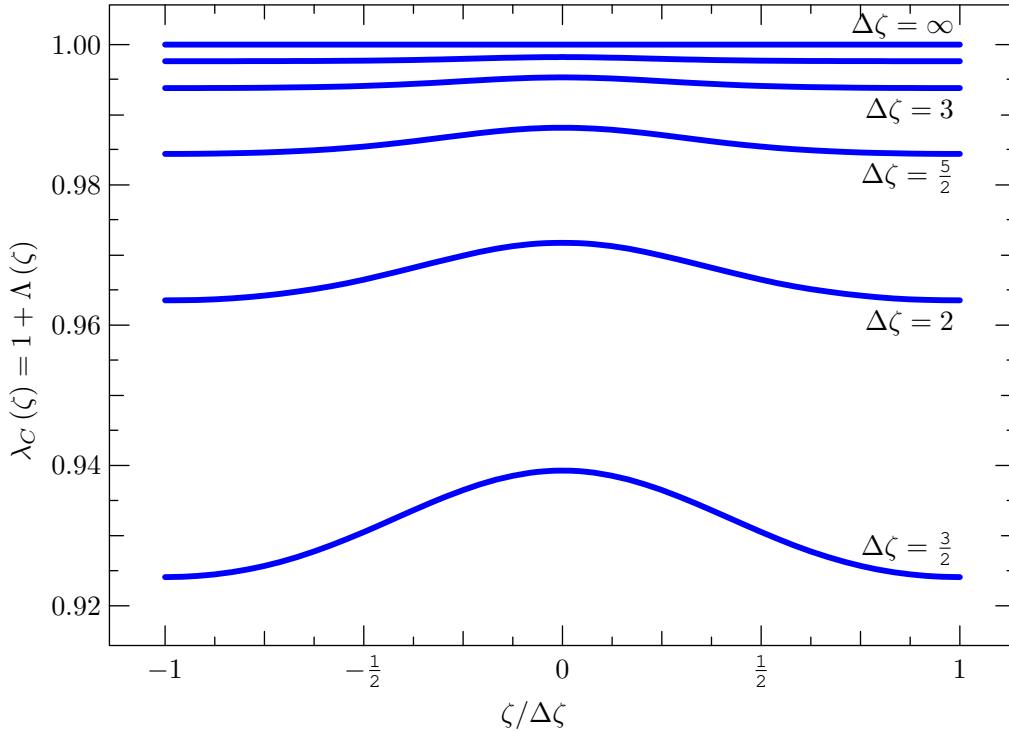


FIGURE 2.5: La *dilatation relative*  $\lambda_C$  de sections de cylindre magnétiques souples en présence d'un  $\pi$ -soliton magnétique (2.73) : la dilatation relative  $\lambda_C$  définie par (2.79) est représentée en fonction de  $\zeta/\Delta\zeta = z/\Delta z$  pour différentes demi-longueurs relatives  $\Delta\zeta = \Delta z/r$ , la *constante relative de couplage* étant fixée ( $\kappa \equiv J/k_c = 1/16$ ).

- Le cas dégénéré ( $\Delta\zeta = \infty$ ) correspond au cylindre magnétique souple infini : le soliton magnétique n'étant pas *confiné* peut s'étendre sans restriction aucune tout le long de l'axe de révolution et son énergie magnétique  $E_{mag}$  atteindre son *énergie minimum minimorum topologique*  $\underline{E}_Q$ .
- Les autres cas ( $\Delta\zeta < \infty$ ) illustrent le mécanisme de *libération géométrique* : le soliton magnétique *confiné* ne pouvant pas s'épanouir suivant l'axe de rotation refoule son excès d'énergie magnétique  $\Delta E_{mag} = E_{mag} - \underline{E}_Q$  en rétrécissant radialement la membrane magnétique souple ; l'énergie du soliton étant localisée en sa vague et l'énergie élastique isotrope, les déformations sont plus prononcées en ses branches.

### 3 Membranes de topologie torique

#### 3.1 Le tore : une dégénérescence solitonique

La représentation la plus naturelle du tore est donnée en *coordonnées cylindriques*  $(\rho, \xi, z)$  :

$$\rho = R + r \cos \varphi, \quad z = r \sin \varphi, \quad (2.80)$$

où le *rayon de révolution*  $R$  et le *rayon axiale*  $r$  vérifient  $0 < r < R$ , l'angle  $\varphi$  variant de  $-\pi$  à  $\pi$ . Toutefois, il s'avère plus commode d'utiliser la représentation suivante [Zc90]

$$\rho = \frac{a \sinh b}{\cosh b - \cos \eta}, \quad z = \frac{a \sin \eta}{\cosh b - \cos \eta}, \quad (2.81)$$

où les nouveaux paramètres constants  $a$  et  $b$  sont des réels positifs, tandis que l'*angle poloïdale*  $\eta$  varie de  $-\pi$  à  $\pi$ . Les relations

$$a = \sqrt{(R+r)(R-r)} \quad \text{et} \quad \cosh b = \frac{R}{r} \quad (2.82)$$

fournissent une interprétation géométrique immédiate des nouveaux paramètres : appelons  $a$  le *rayon géométrique* et  $b$  l'*angle d'excentricité*. Réciproquement, les paramètres naturels  $R$  et  $r$  sont donnés par

$$R = \frac{a}{\tanh b} \quad \text{et} \quad r = \frac{a}{\sinh b}. \quad (2.83)$$

Enfin, la transformation entraîne la relation

$$\tan \frac{1}{2}\eta = \tanh \frac{1}{2}b \tan \frac{1}{2}\varphi, \quad (2.84a)$$

$$= \sqrt{\frac{R-r}{R+r}} \tan \frac{1}{2}\varphi. \quad (2.84b)$$

La métrique de la membrane magnétique en *coordonnées péri-polaires*  $(\xi, \eta)$  s'écrit alors

$$g = \frac{a^2}{(\cosh b - \cos \eta)^2} [\sinh^2 b \, d\xi \otimes d\xi + d\eta \otimes d\eta], \quad (2.85)$$

ainsi  $g^{\xi\eta} = g^{\eta\xi} = 0$  et nous avons

$$g^{\xi\xi} \sqrt{g} = \frac{1}{\sinh b}, \quad g^{\eta\eta} \sqrt{g} = \sinh b. \quad (2.86)$$

Pour le tore rigide l'expression (2.4) du *Hamiltonien magnétique* s'écrit donc littéralement

$$\mathcal{H}_{mag} = J \int_{-\pi}^{+\pi} d\xi \int_{-\pi}^{+\pi} d\eta \left[ \left[ \frac{\Theta_\xi^2}{\sinh b} + \sinh b \sin^2 \Theta \Phi_\eta^2 \right] + \left[ \sinh b \Theta_\eta^2 + \frac{\sin^2 \Theta}{\sinh b} \Phi_\xi^2 \right] \right]. \quad (2.87)$$

Un changement d'échelle approprié suivant l'axe des  $z$  donne

$$\mathcal{H}_{mag} = J \int_{-\Delta\zeta}^{+\Delta\zeta} d\zeta \int_{-\pi}^{+\pi} d\eta \left[ [\Theta_\zeta^2 + \sin^2 \Theta \Phi_\eta^2] + [\Theta_\eta^2 + \sin^2 \Theta \Phi_\zeta^2] \right], \quad (2.88)$$

avec

$$\zeta \equiv \sinh b \xi \quad \text{et} \quad \Delta\zeta \equiv \sinh b \pi. \quad (2.89)$$

De cet Hamiltonien (2.88) nous déduisons les *équations auto-duales* du tore rigide magnétique :

$$\Theta_\zeta = \varepsilon \sin \Theta \Phi_\eta, \quad (2.90a)$$

$$\Theta_\eta = -\varepsilon \sin \Theta \Phi_\zeta. \quad (2.90b)$$

Sans effort nous écrivons leur *versions algébriques*

$$U_\zeta = +\varepsilon V_\eta, \quad (2.91a)$$

$$U_\eta = -\varepsilon V_\zeta. \quad (2.91b)$$

En vertu du *critère de Cauchy-Riemann*,  $W$  est une *fonction mériomorphe* [WW52] de la variable complexe  $\omega \equiv \zeta + \varepsilon i\eta$ , le signe  $\varepsilon$  étant le signe de la charge topologique  $Q$ . Introduisons le réseau  $L(2\Delta\zeta, i2\pi) \equiv \{2m\Delta\zeta + i2n\pi \mid m, n \in \mathbb{Z}\}$  et notons que le tore est homéomorphe à  $\mathbb{C}/L(2\Delta\zeta, i2\pi)$  :  $W$  est donc une *fonction elliptique* [WW52, Law89]. Par conséquent la charge topologique  $Q$  de la configuration  $W$  correspond à l'*ordre* de la fonction elliptique  $W$  [WW52], au signe près. Or l'ordre d'une fonction elliptique est toujours supérieur ou égal à deux ; nous avons donc

$$|Q| \geq 2 \quad (2.92)$$

en accord avec le *théorème de Eells-Wood* [EL78]. En outre, la représentation des fonctions elliptiques à l'aide des  $\sigma$ -*fonctions de Weierstrass* [WW52, Law89] autorise une écriture formelle des configurations topologiques auto-duales :

$$W(\omega) = \tan \frac{1}{2}\Theta_0 e^{i\Phi_0} \prod_{n=1}^{|Q|} \frac{\sigma(\omega - z_n)}{\sigma(\omega - p_n)}, \quad (2.93a)$$

où les zéros  $z_n$  et les pôles  $p_n$  doivent vérifier la règle de sélection

$$\sum_{n=1}^{|Q|} z_n = \sum_{n=1}^{|Q|} p_n. \quad (2.93b)$$

Dans la foulée, écrivons leur densité *Hamiltonienne magnétique*  $\mathcal{H}_{mag}$  à l'aide des  $\zeta$ -fonctions de Weierstrass :

$$\begin{aligned} \mathcal{H}_{mag} &= J \left[ \frac{|W_\omega|}{1 + |W|^2} \right]^2 \\ &= J \left[ \frac{|W|}{1 + |W|^2} \right]^2 \left| \sum_{n=1}^{|Q|} \zeta(\omega - z_n) - \sum_{n=1}^{|Q|} \zeta(\omega - p_n) \right|^2. \end{aligned} \quad (2.93c)$$

### 3.2 Sections de tore : déformation solitonique

Restreignons nous maintenant à une membrane magnétique souple compactifiée  $M$  dont la forme spontanée est une section de tore.

En *coordonnées péri-polaires*  $(\xi, \eta)$  précédemment introduites, une telle membrane rigidifiée est décrite en restreignant l'angle de rotation :

$$-\Delta\xi \leq \xi \leq +\Delta\xi, \quad (2.94a)$$

où le demi-angle  $\Delta\xi$  doit vérifier

$$0 < \Delta\xi < \pi. \quad (2.94b)$$

Encore une fois nous nous bornerons à étudier les *configurations symétriques* :

$$\Theta_\eta = \Phi_\xi = 0; \quad (2.95)$$

le *Hamiltonien magnétique* (2.4) prend alors la forme attendue

$$\mathcal{H}_{mag} = J \int_{-\Delta\xi}^{+\Delta\xi} d\xi \int_{-\pi}^{+\pi} d\eta \left[ \Theta_\zeta^2 + \sin^2 \Theta \Phi_\eta^2 \right], \quad (2.96)$$

avec

$$\zeta \equiv \sinh b \xi \quad \text{et} \quad \Delta\xi \equiv \sinh b \Delta\xi. \quad (2.97)$$

Enfin, la section de tore est *compactifiée* en imposant une densité Hamiltonienne nulle aux bords :

$$\Theta_\zeta (\zeta = \pm \Delta\zeta) = 0, \quad (2.98a)$$

$$\Theta (\zeta = -\Delta\zeta) = 0 \quad \text{et} \quad \Theta (\zeta = +\Delta\zeta) = 0 [\pi]. \quad (2.98b)$$

Il saute aux yeux que le magnétisme des sections de tore magnétiques souples rigidifiées est similaire à celui des sections de cylindre magnétiques souples rigidifiées étudié dans la Sous-Section 2.3 : seule la forme spontanée des membranes souples diffère. Autrement dit, les géométries ne sont pas similaires mais le choix des métriques (2.56) et (2.85) rend le magnétisme similaire. Par contre la différence entre les formes spontanée est intrinsèque : les *courbures principales* sont globales (*i.e.* constantes) pour les sections de cylindre, locales pour les sections de tore. Il en découle des *paramètres de forme pertinents* de nature différente. Pour les sections de cylindre, le paramètre de forme pertinent est le rayon  $r$  : une distance. Pour les sections de tore, le paramètre de forme pertinent est l'*angle d'excentricité*  $b$  : un rapport de distance. Nous nous attendons donc à trouver des lois de déformation similaires mais aux conséquences géométriques dissemblables : nous allons montrer qu'elles sont semblables.

D'après (2.97) et par analogie, l'*angle d'excentricité*  $b$  (le *paramètre de forme pertinent*) doit être libéré en fonction de l'*angle*  $\xi$  (la *coordonnée curviligne pertinente*) :

$$b(\xi) = b_0 + \Lambda(\xi), \quad (2.99)$$

avec  $b_0$  l'*angle d'excentricité spontané* et  $\Lambda$  la *déformation locale*. La métrique reste orthogonale et les relations (2.86) se lisent

$$g^{\xi\xi}\sqrt{g} = \frac{1}{\sqrt{\sinh^2 b + \Lambda_\xi^2}}, \quad g^{m\eta}\sqrt{g} = \sqrt{\sinh^2 b + \Lambda_\xi^2}. \quad (2.100)$$

De long calculs fastidieux conduisent, en utilisant des outils classiques de géométrie différentielle [Str61], à l'expression suivante de la *courbure moyenne locale* :

$$\begin{aligned} 2a H(\xi, \eta) &= \frac{\sinh b}{\sqrt{\sinh^2 b + \Lambda_\xi^2}} \left[ \sinh b + \frac{\cosh b \cos \eta - 1}{\sinh b} \right] \\ &\quad + \frac{\cosh b - \cos \eta}{[\sinh^2 b + \Lambda_\xi^2]^{\frac{3}{2}}} \left[ \sinh b \Lambda_{\xi\eta} - \cosh b \Lambda_\xi^2 \right]. \end{aligned} \quad (2.101)$$

Clairement, pour des *déformations suffisamment lisses*, le second terme s'évanouit et le facteur d'échelle du premier terme tend vers un : l'expression qui s'en dégage correspond alors à la *courbure moyenne rigidifiée*. En conséquence de quoi, nous essayons comme *courbure moyenne spontanée* non nulle  $H_0$  la fonction

$$2a H_0(\xi, \eta) = \sinh b_0 + \frac{\cosh b_0 \cos \eta - 1}{\sinh b_0} + \frac{\cosh b - \cos \eta}{[\sinh^2 b + \Lambda_\xi^2]^{\frac{3}{2}}} [\tilde{\chi}_2 \sinh b \Lambda_{\xi\xi} - \tilde{\chi}_1 \cosh b \Lambda_\xi^2], \quad (2.102)$$

avec  $\tilde{\chi}_1$  et  $\tilde{\chi}_2$  des *constantes phénoménologiques*. Pour parachever notre modélisation, développons la densité du Hamiltonien élastique (2.34) jusqu'à l'ordre deux en  $\Lambda$ ,  $\Lambda_\xi$  et  $\Lambda_{\xi\xi}$  :

$$\mathcal{H}_{el} = \frac{1}{2}\pi k_c \int_{-\Delta\zeta}^{+\Delta\zeta} d\zeta [c_2 \Lambda^2 + 2c_1 \chi_2 \Lambda_\zeta^2 + \chi_2^2 \Lambda_{\zeta\zeta}^2], \quad (2.103a)$$

avec

$$\chi_2 = 1 - \tilde{\chi}_2, \quad (2.103b)$$

$$c_1 = \frac{1 + \sinh b_0 \cosh b_0}{\sinh^2 b_0}, \quad (2.103c)$$

$$c_2 = \frac{1 + \sinh b_0 \cosh b_0 (3 + \sinh^2 b_0)}{\sinh^4 b_0}. \quad (2.103d)$$

Précisons le changement d'échelle effectué :

$$\zeta \equiv \sinh b_0 \xi \quad \text{et} \quad \Delta\zeta \equiv \sinh b_0 \Delta\xi. \quad (2.104)$$

Les *déformations spontanées*  $\Lambda$  qui extrémisent cet Hamiltonien élastique (2.103) satisfont aux *équations d'Euler-Lagrange* suivantes [GH96]

$$c_2 \Lambda - 2c_1 \chi_2 \Lambda_{\zeta\zeta} + \chi_2^2 \Lambda_{\zeta\zeta\zeta\zeta} = 0. \quad (2.105)$$

Pour interdire toutes déformations spontanées nous imposerons

$$\chi_2 = 0. \quad (2.106)$$

Finalement, pour des *déformations continues de faible amplitude*, le *Hamiltonien élastique* (2.34) s'écrit

$$\mathcal{H}_{el} = \frac{1}{2}\pi k_c c_2 \int_{-\Delta\zeta}^{+\Delta\zeta} d\zeta \Lambda^2, \quad (2.107a)$$

$$= \frac{1}{2}\pi k_c c_2 \int_{-\Delta\zeta}^{+\Delta\zeta} d\zeta (b - b_0)^2. \quad (2.107b)$$

Les déformations  $\Lambda$  subies par les sections de tore souples magnétiques et induites par les solitons magnétiques frustrés gelés extrémisent ainsi le *Hamiltonien total*

$$\begin{aligned} \mathcal{H} = 2\pi J q_\eta^2 \int_{-\Delta\zeta}^{+\Delta\zeta} d\zeta & \left[ (2 + \tilde{m}) - \tilde{m} [\coth b_0 \Lambda + \frac{1}{2} \Lambda_\zeta^2] \right. \\ & - (1 + \tilde{m}) [2 + \coth^2 b_0 \Lambda^2] \operatorname{sn}^2(q_\eta \zeta | 1 + \tilde{m}) \\ & \left. + \left( 1 + \frac{1}{2} \tilde{m} + \frac{1 + \tilde{m}}{\sinh^2 b_0} + \frac{c_2}{4\kappa q_\eta^2} \right) \Lambda^2 \right]. \end{aligned} \quad (2.108)$$

Les *équations d'Euler-Lagrange* prennent alors la forme escomptée

$$\Lambda_{\varrho\varrho} + [(1 + m)A - mB \operatorname{sn}^2(\varrho | m)] \Lambda = \sqrt{m} j, \quad (2.109a)$$

où

$$m = 1 + \tilde{m}, \quad (2.109b)$$

$$A = \frac{1}{\tilde{m} q_\eta^2} \left[ 1 + \frac{2}{2 + \tilde{m}} \left( \frac{1 + \tilde{m}}{\sinh^2 b_0} + \frac{c_2}{\kappa q_\eta^2} \right) \right], \quad (2.109c)$$

$$B = 2 \frac{\coth^2 b_0}{\tilde{m} q_\eta^2}, \quad (2.109d)$$

$$j = \frac{\coth b_0}{q_\eta^2 \sqrt{1 + \tilde{m}}}. \quad (2.109e)$$

La nouvelle variable vérifiant ici  $\varrho \equiv q_\eta \zeta$ . Comme pressenti les lois de déformation des sections de tore sont similaires à celles des sections de cylindre.

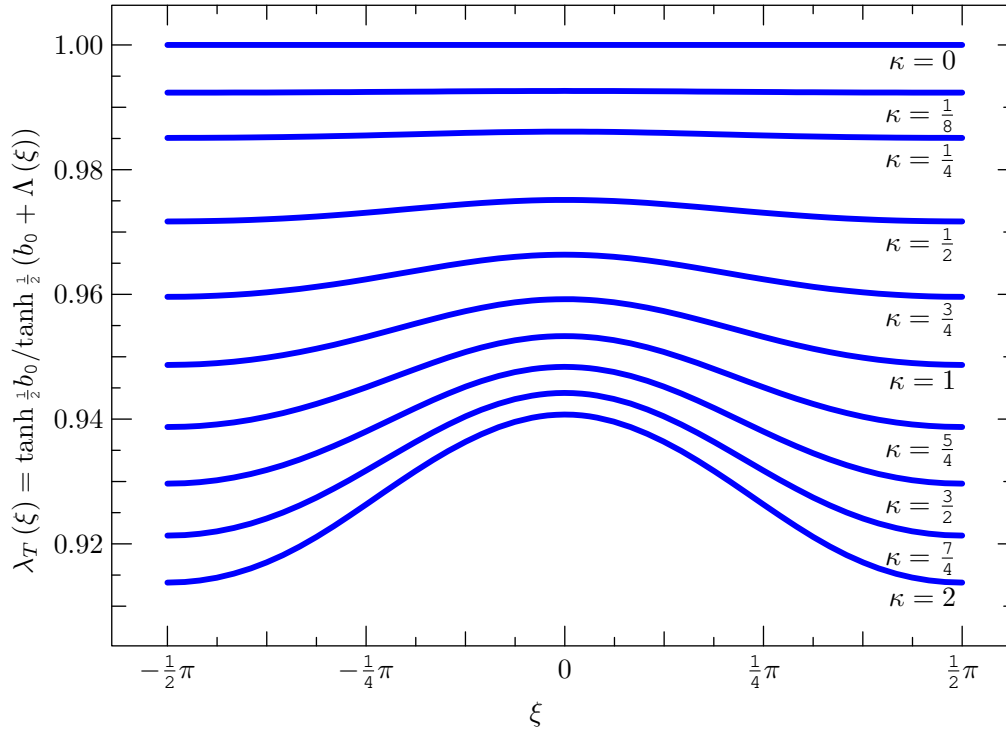


FIGURE 2.6: La *dilatation relative*  $\lambda_T$  d'une section magnétique souple du *tore de Clifford* (FIGURE 2.3) en présence d'un  $\pi$ -soliton magnétique : la dilatation relative  $\lambda_T$  définie par (2.111) est représentée en fonction de l'angle de rotation  $\xi$  pour différentes valeurs de la *constante relative de couplage*  $\kappa \equiv J/k_c$ , le demi-angle de rotation étant fixée ( $\Delta\xi = \pi/2$ ).

- Le cas dégénéré ( $\kappa = 0$ ) correspond à la section souple rigidifiée ( $k_c \gg J$ ).
- Les autres cas ( $\kappa \approx 1$ ) illustrent le mécanisme de *libération géométrique* : le soliton magnétique fortement confiné ( $\sinh b_0 = 1$ ) refoule son excès d'énergie magnétique  $\Delta E_{mag} = E_{mag} - E_Q$  en rétrécissant globalement la membrane magnétique souple ; l'énergie du soliton étant localisée en sa vague et l'énergie élastique isotrope, la contraction est moins importante en sa vague et la membrane souple l'épouse d'autant plus que la *constante relative de couplage*  $\kappa$  est grande.

*A fortiori* les changements d'échelle (2.61) et (2.89) dictent la *relation de similitude* entre les *paramètres de forme pertinents* des sections de cylindre (le rayon  $r$ ) et des sections de tore (l'angle d'excentricité  $b$ ) ; en utilisant une notation évidente, nous écrivons

$$r \leftrightarrow \frac{1}{\sinh b}. \quad (2.110)$$

En vertu de cette *similitude géométrique* (2.110), le mécanisme de déformation des sections de tore se déduit littéralement de celui des section de cylindre : la compétition entre l'énergie magnétique et l'énergie élastique entraîne un accroissement de l'angle d'excentricité  $b$ , ce processus s'amplifiant aux branches solitoniques. Observant que le produit du *rayon extérieur*  $\bar{R} \equiv R + r$  et du *rayon intérieur*  $\underline{R} \equiv R - r$  reste constant ( $\bar{R}\underline{R} = a^2$  selon (2.82)) définissons la *dilatation relative du tore*  $\lambda_T$  par

$$\lambda_T \equiv \frac{\bar{R}}{\underline{R}_0} = \left( \frac{\underline{R}}{\underline{R}_0} \right)^{-1}, \quad (2.111)$$

où  $\bar{R}_0$  et  $\underline{R}_0$  sont associées à la *forme spontanée*. Les relations de transformation (2.83) permettent d'établir une relation simple entre la *dilatation relative du tore*  $\lambda_T$  et l'*angle d'excentricité*  $b$  :

$$\lambda_T = \frac{\tanh \frac{1}{2}b_0}{\tanh \frac{1}{2}b}. \quad (2.112)$$

### 3.3 Déformations symétriques du tore de Clifford

Le tore de Clifford magnétique souple serait assouvi puisqu'il saturerait son *énergie élastique* selon la *conjecture de Clifford* (FIGURE 2.3) tout en saturant son *énergie magnétique* du fait de sa dégénérescence solitonique (Sous-Section 3.1). Par déformations symétriques du tore de Clifford nous entendrons les déformations subies par le tore de Clifford magnétique souple et induites par un soliton magnétique symétrique : en fait il s'agit du cas dégénéré  $\Delta\xi = \pi$  d'une section du tore de Clifford vu dans la Sous-Section précédente. La FIGURE 2.7 illustre cette approche.

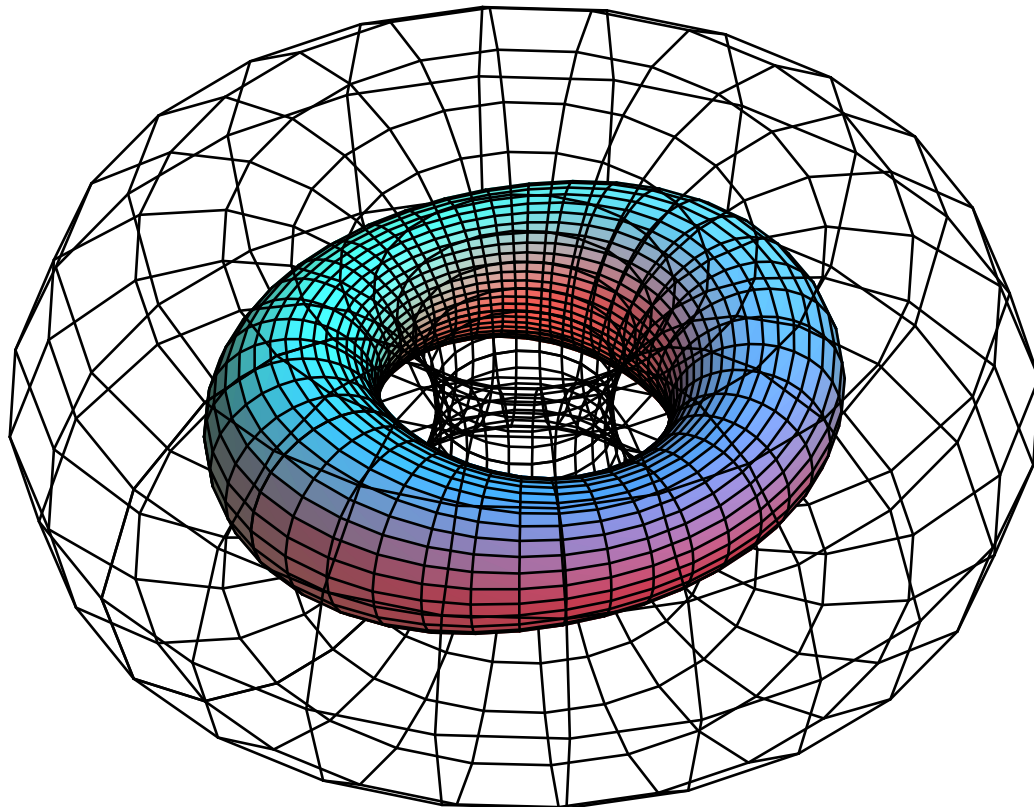


FIGURE 2.7: *Déformation symétrique* du tore de Clifford magnétique souple en présence d'un  $2\pi$ -soliton magnétique symétrique : l'angle d'excentricité  $b_0$  du tore spontané (représentée par la grille extérieure) vérifie  $\sinh b_0 = 1$  par définition (FIGURE 2.3), la *constante relative de couplage*  $\kappa \equiv J/k_c$  est égale à 2, enfin la déformation locale  $\Lambda$  est magnifiée par un facteur 10.

Le *soliton frustré* se libère de sa symétrie imposée en contractant globalement la membrane magnétique ; les deux renflements diamétralement opposés correspondent aux deux *vagues* du soliton : son énergie magnétique  $E_{mag}$  s'y concentrant indépendamment de la géométrie de la membrane, il refoule l'énergie magnétique accumulée en ses branches.



# Conclusion

La première partie esquisse la construction de nouveaux degrés de liberté antiferromagnétiques pour un réseau régulier de basse dimension. Des polytopes réguliers du réseau ils héritent de la hiérarchie des algèbres à divisions : le nouveau paramètre d'ordre local suit la hiérarchie algébrique satisfaite par le modèle  $\sigma$  non-linéaire. Le réseau de l'état antiferromagnétique (le « sur-réseau ») apparaît alors comme un réseau de nœuds (les « sur-nœuds ») avec liens (le champs potentiel vecteur associé au champs de jauge locale). Une étude approfondie du nouveau paramètre d'ordre local pris à la limite continue semble un préliminaire nécessaire au passage à une théorie de champs continue. Notons enfin que l'argument naïf qui consiste en dimension deux (algèbre des complexes  $\mathbb{C}$ ) à envoyer le plan-temps compactifié  $S^3$  sur la sphère unité  $S^2$  pour dégager l'invariant topologique de Hopf n'est plus pertinent en dimension trois (algèbre des quaternions  $\mathbb{H}$ ) puisque la hiérarchie algébrique impose alors d'envoyer la sphère unité  $S^7$  sur la sphère unité  $S^4$  [EHH<sup>+</sup>90, Nak90] : une étude du réseau cubique antiferromagnétique devrait permettre d'affiner la prescription esquissée, d'autant plus que réseau cubique antiferromagnétique peut-être soit assouvi soit frustré [Kaw98]. En dimension quatre (algèbre des octonions  $\mathbb{O}$ ), l'invariant topologique de Hopf décompte les recouvrements de la sphère unité  $S^8$  lorsque la sphère unité  $S^{15}$  est parcourue : une étude du réseau 4-cubique et 4-triangulaire [Cox73] devrait permettre de celer la prescription et une meilleure compréhension du mécanisme algébrique sous-jacent puisque l'algèbre des octonions  $\mathbb{O}$  n'est ni associative ni commutative mais seulement alternative — l'alternativité étant commune aux quatre algèbres réelles à divisions  $\mathbb{A}_d$ .

La seconde partie s'évertue à décrire la membrane magnétique comme un système physique possédant une double obstruction topologique. La frustration géométrique s'interprète alors comme la compétition entre les deux ordres topologiques. En outre cette approche suggère la construction d'un Hamiltonien élastique qui admettrait une décomposition « à la Bogomol'nyi », c'est-à-dire qui lèverait la classification topologique des surfaces comme le modèle  $\sigma$  non-linéaire (le Hamiltonien magnétique) lève la classification des configurations magnétiques. Le Hamiltonien heuristique de Helfrich-Willmore qui mimique une telle

décomposition a permis de mieux saisir le mécanisme de libération géométrique. Les déformations d'une membrane souple ont été appréhendées en gelant une configuration magnétique de ladite membrane souple rigidifiée : un rétrécissement global avec des renflements localisés aux retournements des spins a été mis en évidence pour les membranes magnétiques frustrées. Ce résultat demande à être confirmé en élaborant un Hamiltonien élastique indépendant de la topologie de la membrane souple (c'est-à-dire « à la Bogomol'nyi ») et en abordant la compétition entre les deux ordres topologiques conjointement. Notons que l'existence d'un tel Hamiltonien élastique soulèverait l'existence d'Hamiltoniens « à la Bogomol'nyi ».

Le processus microscopique qui se dégage de la prescription suggérée dans la première partie et la compétition topologique introduite dans la deuxième partie élargissent le champs d'investigation initial en fournissant une origine microscopique à la transmutation de Fermi-Bose et un moyen de traquer la physique exotique étudiée lors de cette thèse. Des simulations numériques du modèle de Heisenberg sur des réseaux bidimensionnels souples spontanément courbes devrait ainsi exhiber des distributions topologiques de spins dont l'ordonnancement local permettrait de préciser le processus microscopique. De même l'étude des transitions de phase entre les différents états antiferromagnétiques topologiques devrait également s'avérer utile.

## Annexe A

# L'équation de sinus-Gordon

Cet Annexe présente des solutions périodiques de l'équation double de sinus-Gordon (DSG) obtenues élégamment à partir de solutions périodiques de l'équation simple de sinus-Gordon (SG).

## 1 L'équation simple de sinus-Gordon

Considérons l'*équation de sinus-Gordon* (SG)

$$\Theta_{\varrho\varrho} = \sin \Theta \cos \Theta. \quad (\text{A.1})$$

En intégrant une première fois l'équation différentielle du second degrés (A.1), nous lisons

$$\Theta_{\varrho}^2 = \sin^2 \Theta + \tilde{m} \quad \tilde{m} \in [0, +\infty[, \quad (\text{A.2a})$$

où le *paramètre*  $\tilde{m}$  est une constante d'intégration. Il est alors aisément d'écrire l'équation satisfaite par la fonction réciproque  $\varrho = \varrho(\Theta)$  :

$$\frac{d\varrho}{d\Theta} = \frac{\varepsilon}{\sqrt{\tilde{m} + \sin^2 \Theta}} \quad \varepsilon = \pm 1. \quad (\text{A.2b})$$

Notons  $\alpha(\cdot | \tilde{m})$  la fonction croissante solution de (A.1) caractérisée par le *paramètre*  $\tilde{m}$  et fixée à l'origine, c'est-à-dire vérifiant  $\alpha(0 | \tilde{m}) = \frac{\pi}{2}$ . La fonction réciproque de  $\alpha(\cdot | \tilde{m})$  est donnée par l'*intégrale elliptique*

$$\alpha^{-1}(\theta | \tilde{m}) = \int_{\frac{\pi}{2}}^{\theta} \frac{d\varphi}{\sqrt{\tilde{m} + \sin^2 \varphi}}, \quad (\text{A.2c})$$

solution immédiate de (A.2b). Ainsi les solutions SG envisagées s'écriront-elles, avec des notations naturelles,

$$\theta(\varrho) = \varepsilon \alpha(\varrho | \tilde{m}) + c. \quad (\text{A.2d})$$

En observant que

$$\alpha^{-1}(\theta + \pi | \tilde{m}) + 2\alpha^{-1}(0 | \tilde{m}) = \alpha^{-1}(\theta | \tilde{m}),$$

nous définissons la *quasi quart-période*  $K_\alpha$  par l'*intégrale elliptique complète*

$$K_\alpha(\tilde{m}) = \int_0^{\frac{\pi}{2}} \frac{d\varphi}{\sqrt{\tilde{m} + \sin^2 \varphi}}, \quad (\text{A.3})$$

qui décroît strictement de  $\infty$  vers 0 en fonction du *paramètre*  $\tilde{m}$ . La fonction  $\alpha(\cdot | \tilde{m})$  vérifie donc la relation

$$\alpha(\varrho + 2qK_\alpha | \tilde{m}) = \alpha(\varrho | \tilde{m}) + q\pi \quad q \in \mathbb{Z}; \quad (\text{A.4a})$$

de plus,

$$\alpha(-K_\alpha) = 0, \quad \alpha(0) = \frac{\pi}{2}, \quad \alpha(K_\alpha) = \pi; \quad (\text{A.4b})$$

enfin, par construction,

$$\frac{\pi}{2} - \alpha(-\varrho | \tilde{m}) = \alpha(\varrho | \tilde{m}) - \frac{\pi}{2}. \quad (\text{A.4c})$$

Clairement le *paramètre*  $\tilde{m}$  contrôle la *quasi périodicité* des solutions. Lorsque le *paramètre*  $\tilde{m}$  tend vers 0, cette *quasi périodicité* tend vers l'infini, et la solution  $\alpha(\cdot | \tilde{m})$  devient un *soliton* localisé à l'origine.

L'*équation de sinus-Gordon* a été résolue sans effort aucun, mais les relations ainsi obtenues sont peu commodes à utiliser en *calcul symbolique ou numérique*. Des expressions explicites peuvent être écrites en termes d'*intégrales canoniques elliptiques* et des *fonctions elliptiques de Jacobi* [WW52, Law89].

En effet, en effectuant le changement de variable judicieux [Sut95]  $\sin \Theta = \operatorname{dn}(\varrho | 1 + \tilde{m})$ , l'équation différentielle originelle (A.1) prend la forme simple  $u_\varrho^2 = 1$ . Immédiatement, nous lisons

$$\sin \alpha(\varrho | \tilde{m}) = \operatorname{dn}(\varrho | 1 + \tilde{m}). \quad (\text{A.5})$$

En substituant cette relation dans (A.2a), nous obtenons

$$\alpha_\varrho^2(\varrho | \tilde{m}) = (1 + \tilde{m}) \operatorname{cn}^2(\varrho | 1 + \tilde{m}). \quad (\text{A.6})$$

La trigonométrie classique et jacobienne permettent de calculer la variante cosinus de (A.5) :

$$\cos \alpha(\varrho | \tilde{m}) = -\sqrt{1 + \tilde{m}} \operatorname{sn}(\varrho | 1 + \tilde{m}), \quad (\text{A.7a})$$

$$= -\operatorname{sn}\left(\varrho\sqrt{1 + \tilde{m}} | 1/1 + \tilde{m}\right). \quad (\text{A.7b})$$

Pour finir, écrivons la variante en tangente de l'angle moitié :

$$\tan \frac{1}{2}\alpha(\varrho | \tilde{m}) = \operatorname{nd}(\varrho | 1 + \tilde{m}) + \sqrt{1 + \tilde{m}} \operatorname{sd}(\varrho | 1 + \tilde{m}), \quad (\text{A.8})$$

qui prend la forme dégénérée, quand  $\tilde{m}$  tend vers 0,  $\tan \frac{1}{2}\alpha(\varrho | 0) = e^\varrho$ .

Concernant la *quasi quart-période*  $K_\alpha(\tilde{m})$ , le rapprochement des relations (A.4a) et (A.5) permet de l'identifier avec la quart-période  $K(1 + \tilde{m})$  des *fonctions elliptiques de Jacobi*  $pq(\cdot | 1 + \tilde{m})$ . Précisément, nous avons

$$K_\alpha(\tilde{m}) = K(1 + \tilde{m}), \quad (\text{A.9a})$$

$$= \frac{1}{\sqrt{1 + \tilde{m}}} K\left(\frac{1}{1 + \tilde{m}}\right). \quad (\text{A.9b})$$

En *calcul symbolique*, K correspond à l'*intégrale elliptique de première espèce*.

## 2 L'équation double de sinus-Gordon

L'*équation double de sinus-Gordon* (DSG) s'obtient en ajoutant un terme de couplage à l'*équation simple de sinus-Gordon* :

$$\Theta_{\varrho\varrho} = \sin \Theta \cos \Theta + \tilde{\gamma} \sin \Theta. \quad (\text{A.10})$$

Le changement de variable

$$t \equiv \tan \frac{1}{2}\Theta \quad t \in [0, +\infty[ \quad (\text{A.11})$$

transforme l'équation différentielle non linéaire (A.10) sous la forme plus commode

$$(1 + t^2) t_{\varrho\varrho} = 2t \left[ t_\varrho^2 + \frac{1}{2}(1 + \tilde{\gamma}) - \frac{1}{2}(1 - \tilde{\gamma}) t^2 \right]. \quad (\text{A.12})$$

Cette équation différentielle admet deux solutions triviales de type *soliton* : le double soliton  $t = \cosh \frac{1}{\sqrt{2}}\varrho$  ( $\tilde{\gamma} = \frac{1}{2}$ ) et le soliton  $t = e^\varrho$  ( $\tilde{\gamma} = 0$ ).

Clairement, la transformation  $(\varrho, t) \rightarrow (\lambda\varrho, \mu t)$  et l'absence de couplage  $\tilde{\gamma}$  ne modifient pas la nature de la nouvelle équation DSG (A.12). Cette remarque suggère fortement d'injecter dans (A.12) la fonction essai

$$t = \tan \frac{1}{2}\alpha_0 \tan \frac{1}{2}\alpha(\varrho/v_0 | \tilde{m}). \quad (\text{A.13})$$

De cette manipulation fastidieuse se dégagent un système d'équations dont s'extraient les expressions de  $v_0$  et de  $\tan \frac{1}{2}\alpha_0$  :

$$v_0 = \sqrt{\frac{2 + \tilde{m} - \sqrt{\tilde{m}^2 + 4(1 + \tilde{m})\tilde{\gamma}^2}}{2(1 - \tilde{\gamma}^2)}}, \quad (\text{A.14a})$$

$$\tan \frac{1}{2}\alpha_0 = \sqrt{\frac{1 + \tilde{\gamma}}{1 - \tilde{\gamma}} \frac{2\tilde{\gamma} + \tilde{m} - \sqrt{\tilde{m}^2 + 4(1 + \tilde{m})\tilde{\gamma}^2}}{2\tilde{\gamma} - \tilde{m} + \sqrt{\tilde{m}^2 + 4(1 + \tilde{m})\tilde{\gamma}^2}}}. \quad (\text{A.14b})$$

Lorsque le couplage  $\tilde{\gamma}$  disparaît, la longueur  $v_0$  et  $\tan \frac{1}{2}\alpha_0$  tendent vers l'unité : sans surprise la fonction essai (A.13) approche la fonction SG associée. Ainsi ces solutions périodiques se révèlent-elles être une généralisation des solutions  $\alpha(\cdot | \tilde{m})$ . Notons  $\alpha(\cdot | \tilde{m}, \tilde{\gamma})$  les solutions (A.13) ; la formule de l'angle moitié correspondante s'écrit

$$\tan \frac{1}{2}\alpha(\varrho | \tilde{m}, \tilde{\gamma}) = \tan \frac{1}{2}\alpha_0 \left[ \operatorname{nd}(\varrho/v_0 | 1 + \tilde{m}) + \sqrt{1 + \tilde{m}} \operatorname{sd}(\varrho/v_0 | 1 + \tilde{m}) \right], \quad (\text{A.15})$$

où l'*angle à l'origine*  $\alpha_0$  et la *longueur solitonique*  $v_0$  vérifient (A.14). En conséquence de quoi, la *quasi quart-période généralisée*  $K_\alpha(\tilde{m}, \tilde{\gamma})$  satisfait

$$K_\alpha(\tilde{m}, \tilde{\gamma}) = v_0 K_\alpha(\tilde{m}). \quad (\text{A.16})$$

La relation (A.4a) se généralise alors comme suit :

$$\alpha(\varrho + 2qK_\alpha | \tilde{m}, \tilde{\gamma}) = \alpha(\varrho | \tilde{m}, (-1)^q \tilde{\gamma}) + q\pi \quad q \in \mathbb{Z}; \quad (\text{A.17a})$$

de plus, les identités (A.4b) deviennent

$$\alpha(-K_\alpha) = 0, \quad \alpha(0) = \alpha_0, \quad \alpha(K_\alpha) = \pi; \quad (\text{A.17b})$$

finalement, la relation de parité (A.4c) prend la forme

$$\frac{\pi}{2} - \alpha(-\varrho | \tilde{m}, \tilde{\gamma}) = \alpha(\varrho | \tilde{m}, -\tilde{\gamma}) - \frac{\pi}{2}. \quad (\text{A.17c})$$

### 3 Évaluation numérique du paramètre

En physique les *conditions aux limites* sont généralement fixées. Ce qui revient ici à se donner la *quasi quart-période*  $K_\alpha$ . Or il n'existe pas dans la littérature de relation ou d'algorithme numérique permettant d'évaluer la fonction réciproque  $K^{-1}$  : une *méthode numérique ad hoc* doit être suggérée.

Pour commencer, notons que l'*intégrale elliptique de première espèce*  $K(m)$  peut s'exprimer sous la forme d'une *fonction hypergéométrique* [AS72, WW52] :

$$K(m) = \frac{\pi}{2} F\left(\frac{1}{2}, \frac{1}{2}; 1; m\right).$$

Cette remarque et la relation (A.9b) incitent à écrire  $K_\alpha$  comme une série entière du *module réduit*  $\tilde{\varkappa} = 1/\sqrt{1+m}$ . Ces considérations conduisent à l'expression

$$\frac{2}{\pi} K_\alpha = \sum_{n=0}^{\infty} \left[ \frac{\left(\frac{1}{2}\right)_n}{(1)_n} \right]^2 \tilde{\varkappa}^{2n+1}, \quad (\text{A.18})$$

où les *symboles de Pochhammer* [AS72] sont utilisés. Cette série entière est alors *formellement inversée* pour obtenir la série entière représentant la fonction  $\tilde{\varkappa}(K_\alpha)$ . Un scripte (codé en Maple V) permettant de calculer les premiers coefficients de cette série s'écrirait comme suit :

```
restart;
Nmax:=100;

a:=(n)->piecewise(type(n,odd),
  (pochhammer(1/2,iquo(n,2))/pochhammer(1,iquo(n,2)))^2,
  type(n,even),0,
  'a'(n));
powseries[powcreate](K(n)=a(n),K(0)=0):
M:=powseries[reversion](K);

SineGordonM[ApproximationOrder]:=Nmax:
SineGordonM[nestedPowerSerie]:=table():
for n from 0 to Nmax+1 do
  SineGordonM[nestedPowerSerie][n]:=M(2*n+1):
od:

save(SineGordonM,"SineGordonM.m"):
```

De cette façon, la relation (A.18) permet l'*évaluation numérique* de la fonction réciproque  $K_\alpha^{-1}$  pour des valeurs numériques suffisamment petites.

Pour des valeurs trop grandes, les inégalités suivantes [AVV90]

$$\ln \left[ \frac{2^2}{\sqrt{1-m}} \right] \leq K(m) \leq \ln \left[ \frac{e^2}{\sqrt{1-m}} \right] \quad [0 < m < 1] \quad (\text{A.19})$$

s'avèrent utiles (et nécessaires) pour fournir à notre procédure `fsolve` favorite un intervalle initial suffisamment fin pour résoudre (avec succès) l'équation  $K_\alpha = \tilde{\varkappa} K(\tilde{\varkappa}^2)$  numériquement.

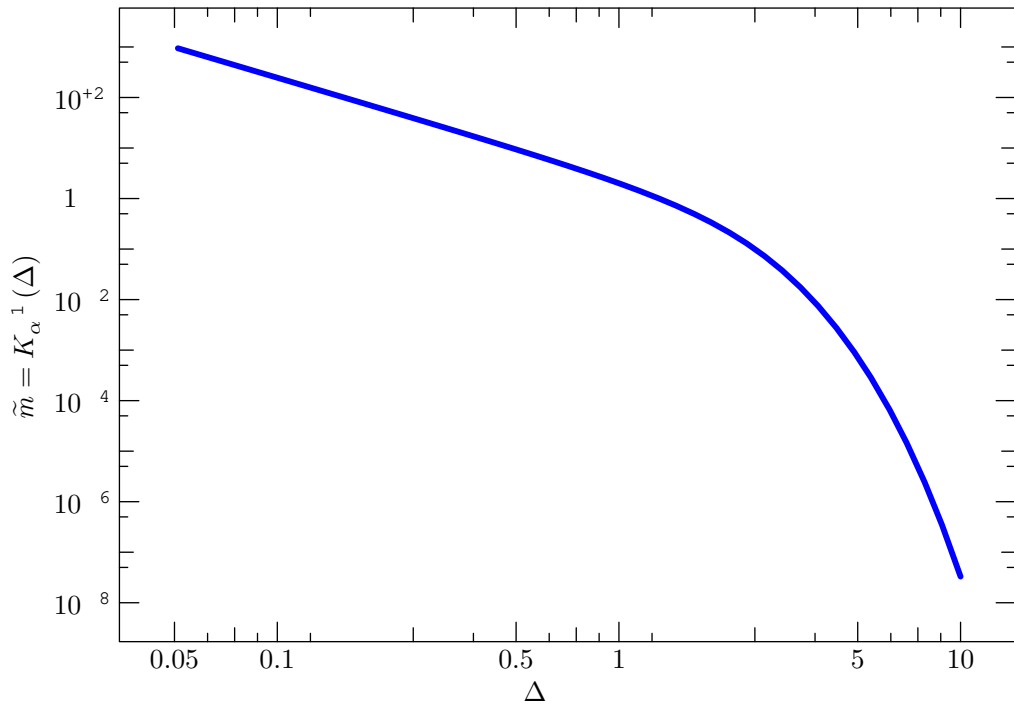


FIGURE A.1: La fonction réciproque de la quasi quart-période de sinus-Gordon  $K_\alpha$ .

## Annexe B

# L'équation inhomogène de Lamé

Cet Annexe se contente de présenter une solution particulière de l'équation inhomogène de Lamé (IL) avec un terme inhomogène constant. La construction de cette solution particulière s'inspire de la construction des fonctions dites de Lamé [Erd55, Ars64].

## 1 L'équation aux différences

Soit l'équation inhomogène de Lamé (IL)

$$\Lambda_{\varrho\varrho} + \left[ (1+m)A - mB \operatorname{sn}^2(\varrho | m) \right] \Lambda = \sqrt{m} j, \quad (\text{B.1})$$

où les amplitudes  $A$  et  $B$  sont des paramètres constants. *A priori*, le terme inhomogène  $j$  est un réel non-nul et le *paramètre*  $m$  un réel positif.

Comme la *transformation réelle de Jacobi*  $(\varrho, m) \rightarrow (\varrho\sqrt{m}, m^{-1})$  laisse l'équation différentielle linéaire du second ordre (B.1) inchangée, nous pouvons supposé  $m$  compris entre 0 et 1. En outre, puisque la fonction  $\operatorname{sn}^2(\varrho | m)$  est paire, l'équation différentielle (B.1) reste inchangée sous la transformation de parité  $\varrho \rightarrow -\varrho$ , donc une solution particulière pertinente sera une fonction paire en  $\varrho$ . De manière analogue, la parité en  $\varrho - K(m)$  de  $\operatorname{sn}^2(\varrho | m)$  invite à chercher une solution particulière également paire en  $\varrho - K(m)$ . Ces remarques préliminaires faites, et tenant compte de la nature même de (B.1), cherchons une solution particulière sous la forme

$$\sum_{n=0}^{\infty} a_n \operatorname{sn}^{2n}(\varrho | m). \quad (\text{B.2})$$

La substitution de la fonction formelle (B.2) dans (B.1) impose à la suite des coefficients réels  $a_n$  la relation de *récurrence à trois termes* [Erd55, Ars64, Gau67, LW92, PTVF92] suivante :

$$\begin{aligned} a_{n+1} - (1+m) \frac{4n^2 - A}{(2n+2)(2n+1)} a_n \\ + m \frac{(2n-2)(2n-1) - B}{(2n+2)(2n+1)} a_{n-1} = 0 \quad (\text{B.3a}) \end{aligned}$$

pour  $n = 1, 2, \dots$ ; la relation d'amorçage étant

$$2a_1 + (1+m)A a_0 = \sqrt{m} j. \quad (\text{B.3b})$$

L'équation caractéristique de (B.3) se lit immédiatement :

$$a^2 - (1+m) a + m = 0; \quad (\text{B.4})$$

elle admet deux racines évidentes,  $m$  et 1. Donc d'après le *théorème de Perron* [Gau67, PTVF92], pour  $0 \leq m < 1$  (*i.e.*  $m \neq 1$ ), l'équation aux différences linéaire du second ordre (B.3) admet deux solutions linéairement indépendantes, à savoir la *solution minimale* et la *solution dominante*, dont les rapports  $a_{n+1}/a_n$  tendent, respectivement, vers  $m$  et 1.

## 2 La solution minimale

Écrivons la relation de récurrence (B.3a) sous la forme

$$\frac{a_n}{a_{n-1}} = \frac{-m \frac{(2n-2)(2n-1)-B}{(2n+2)(2n+1)}}{-(1+m) \frac{4n^2-A}{(2n+2)(2n+1)} + a_{n+1}/a_n}. \quad (\text{B.5})$$

Si la nouvelle relation de récurrence (B.5) est réitéré indéfiniment à partir d'un certain rang  $n \geq 1$ , une suite de fractions est alors engendrée [LW92]. Cette suite, selon le *théorème de Pincherle* [Gau67, LW92, PTVF92], converge vers le rapport  $a_n/a_{n-1}$  où les coefficients  $a_n$  et  $a_{n-1}$  sont effectivement ceux de la *solution minimale*. Notons  $r_n$  la *fraction continue* précédente, les coefficients  $a_n$  sont alors donnés par

$$a_n = a_0 \prod_{p=1}^n r_p \quad [n = 1, 2, \dots], \quad (\text{B.6a})$$

avec, selon (B.3b),

$$a_0 = \frac{\sqrt{m} j}{2r_1 + (1+m)A}; \quad (\text{B.6b})$$

de plus, avec des notations usuelles [LW92], le rapport  $r_n$  s'écrit

$$r_n = \prod_{p=n}^{\infty} \left( \frac{-m \frac{(2p-2)(2p-1)-B}{(2p+2)(2p+1)}}{-(1+m) \frac{4p^2-A}{(2p+2)(2p+1)}} \right) \quad [n = 1, 2, \dots]. \quad (\text{B.6c})$$

Nous adopterons la notation  $L(\cdot | m; A, B, j)$  pour désigner la solution particulière de (B.1) associée à la solution minimale de l'équation aux différences (B.3). La relation (B.6a) permet d'écrire cette solution particulière *sous la forme de Horner*

$$L(\varrho | m; A, B, j) = a_0 \left[ 1 + r_1 \operatorname{sn}^2(\varrho | m) \left[ 1 + r_2 \operatorname{sn}^2(\varrho | m) [\dots] \right] \right],$$

qui doit être penser comme une « forme de Horner continue ». Nous écrirons donc, avec des notations évidentes,

$$L(\varrho | m; A, B, j) = a_0 \prod_{n=1}^{\infty} \left[ 1 + r_n \operatorname{sn}^2(\varrho | m) \right]. \quad (\text{B.7})$$

L'expression (B.7) n'est vraie que pour  $0 < m < 1$ . En fait, l'invariance de l'équation *inhomogène de Lamé* (B.1) par la *transformation réelle de Jacobi* :

$$L(\varrho | m; A, B, j) = L(\varrho\sqrt{m} | m^{-1}; A, B, j). \quad (\text{B.8})$$

### 3 Évaluation numérique

La construction de  $L(\varrho | m; A, B, j)$  se prête naturellement à l'élaboration d'un *algorithme numérique*. Cependant, l'évaluation de la *fraction continue* (B.6c), autrement dit des rapports  $r_n$  dans (B.7), apparaît clairement comme la principale difficulté : l'*algorithme de Lentz dans sa version modifiée* [PTVF92, Len76, TB86, CJT93] doit être suggéré.



# Bibliographie

Les numéros de page entre crochets renvoient au Mémoire.

- [ADDJ93] P. Azaria, B. Delamotte, F. Delduc, et Th. Jolicœur, *A renormalization-group study of helimagnets in  $D = 2 + \epsilon$  dimensions*, Nuclear Phys. B **408** (1993), no. 3, 485–511.
- [Aff88] Ian Affleck, *Spin gap and symmetry breaking in  $CuO_2$  layers and other antiferromagnets*, Phys. Rev. B **37** (1988), no. 10, 5186–5192.
- [Aff89] Ian Affleck, *Quantum spin chains and the Haldane gap*, J. Phys. C : Solid State Phys. **1** (1989), 3047–3072.
- [Ars64] F. M. Arscott, *Periodic differential equations : An introduction to Mathieu, Lamé, and allied functions*, Pergamon Press, Oxford, 1964.
- [AS72] Milton Abramowitz et Irene A. Stegun, *Handbook of mathematical functions*, Dover Publications, New York, 1972.
- [Aue94] Assa Auerbach, *Interacting electrons and quantum magnetism*, Graduate Texts in Contemporary Physics, Springer-Verlag, New York, 1994.
- [AVV90] G. D. Anderson, M. K. Vamanamurthy, et M. Vuorinen, *Functional inequalities for complete elliptic integrals and their ratios*, SIAM J. Math. Anal. **21** (1990), no. 2, 536–549.
- [BD98] Jérôme Benoit et Rossen Dandoloff, *Heisenberg spins on an elastic torus section*, Phys. Lett. A **248** (1998), no. 5-6, 439–444.
- [BL93] David Bailin et Alexander Love, *Introduction to gauge field theory*, Graduate Student Series in Physics, INSTITUTE OF PHYSICS PUBLISHING, Bristol, 1993.
- [Bog76] E. B. Bogomol’nyi, *The stability of classical solutions*, Sov. J. Nucl. Phys. **24** (1976), no. 4, 449–454.

- [BP75] A. A. Belavin et A. M. Polyakov, *Metastable states of two-dimensional isotropic ferromagnets*, JETP Lett. **22** (1975), no. 10, 245–247.
- [CHN88] Sudip Chakravarty, Bertrand I. Halperin, et David R. Nelson, *Low-temperature behavior of two-dimensional quantum antiferromagnets*, Phys. Rev. Lett. **60** (1988), no. 11, 1057–1060.
- [CJT93] Cathleen Craviotto, William B. Jones, et W. J. Thron, *A survey of truncation error analysis for Padé and continued fraction approximants*, Acta Appl. Math. **33** (1993), 211–272.
- [Coh67] Harvey Cohn, *Conformal mapping on Riemann surfaces*, Dover Publications, New York, 1967.
- [Cox73] H. S. M. Coxeter, *Regular polytopes*, third ed., Dover Publications, New York, 1973.
- [Cox91] H. S. M. Coxeter, *Regular complex polytopes*, second ed., CAMBRIDGE UNIVERSITY PRESS, Cambridge, 1991.
- [CT80] M. Cieplak et L. A. Turski, *Magnetic solitons and elastic kink-like excitations in compressible Heisenberg chain*, J. Phys. C : Solid State Phys. **13** (1980), L777–L780.
- [DFN92] B. A. Dubrovin, A. T. Fomenko, et S. P. Novikov, *Modern geometry – methods and applications*, second ed., Graduate Texts in Mathematics, vol. 93, Springer-Verlag, Berlin, 1992.
- [Dix94] Geoffrey M. Dixon, *Division algebras : Octonions, quaternions, complex numbers and algebraic design of physics*, Mathematics and Its Applications, vol. 290, Kluwer Academic Publishers, Dordrecht, 1994.
- [DR88] T. Dombre et N. Read, *Absence of the Hopf invariant in the long-wavelength action of two-dimensional quantum antiferromagnets*, Phys. Rev. B **38** (1988), no. 10, 7181–7183.
- [DR89] T. Dombre et N. Read, *Nonlinear  $\sigma$ -models for triangular quantum antiferromagnets*, Phys. Rev. B **39** (1989), no. 10, 6797–6801.
- [dV64] Patrick du Val, *Homographies, quaternions, and rotations*, Oxford Mathematical Monographs, Clarendon Press, Oxford, 1964.
- [DVGSB95] Rossen Dandoloff, Simon Villain-Guillot, Avadh B. Saxena, et A. R. Bishop, *Violation of self-duality for topological solitons due to soliton-soliton interaction on a cylindrical geometry*, Phys. Rev. Lett. **74** (1995), no. 5, 813–815.

- [EHH<sup>+</sup>90] Heinz-Dieter Ebbinghaus, Hans Hermes, Friedrich Hirzebruch, Max Koecher, Klaus Mainzer, Jürgen Neukirch, Alexander Prestel, et Reinhold Remmert, *Numbers*, Graduate Texts in Mathematics, vol. 123, Springer-Verlag, New York, 1990.
- [EL78] James Eells et L. Lemaire, *A report on harmonic maps*, Bull. London Math. Soc. **10** (1978), 1–68.
- [Erd55] A. Erdélyi (ed.), *Higher transcendental functions*, vol. III, ch. XV, McGraw-Hill, New York, 1955.
- [Fel87] Bjørn Felsager, *Geometry, particles and fields*, fourth ed., ODENSE UNIVERSITY PRESS, Gylling, 1987.
- [Fou92] Bertrand Fourcade, *Theoretical results on toroidal vesicles*, J. Physique II **2** (1992), no. 9, 1705–1724.
- [Fra91] Eduardo Fradkin, *Field theories of condensed matter systems*, Addison-Wesley, New York, 1991.
- [Gau67] Walter Gautschi, *Computational aspects of three-term recurrence relations*, SIAM Rev. **9** (1967), no. 1, 24–82.
- [GH96] Mariano Giaquinta et Stefan Hildebrandt, *Calculus of variations I : The Lagrangian formalism*, A Series of Comprehensive Studies in Mathematics, vol. 310, Springer-Verlag, Berlin, 1996.
- [Gol80] Herbert Goldstein, *Classical mechanics*, second ed., Addison-Wesley, Reading, 1980.
- [GT96] Feza Gürsey et Chia-Hsiung Tze, *On the role of division, Jordan and related algebras in particle physics*, World Scientific, Singapore, 1996.
- [Hal83a] F. D. M. Haldane, *Nonlinear field theory of large-spin Heisenberg antiferromagnets : Semiclassically quantized solitons of the one-dimensional easy-axis Néel state*, Phys. Rev. Lett. **50** (1983), no. 15, 1153–1156.
- [Hal83b] F. D. M. Haldane, *Nonlinear field theory of large-spin Heisenberg antiferromagnets : Semiclassically quantized solitons of the one-dimensional easy-axis Néel state*, Phys. Rev. Lett. **50** (1983), no. 15, 1153–1156.
- [Hel73] Wolfgang Helfrich, *Elastic properties of lipid bilayers : Theory and possible experiments*, Z. Naturforsch. C **28** (1973), 693–703.
- [Hu59] Sze-Tsen Hu, *Homotopy theory*, third ed., Pure and Applied Mathematics, vol. VIII, ACADEMIC PRESS, New York, 1959.

- [Kaw98] Hikaru Kawamura, *Universality of phase transitions of frustrated antiferromagnets*, J. Phys. C : Solid State Phys. **10** (1998), no. 22, 4707–4754.
- [Law89] Derek F. Lawden, *Elliptic functions and applications*, Applied Mathematical Sciences, vol. 80, Springer-Verlag, Berlin, 1989.
- [Len76] William J. Lentz, *Generating Bessel functions in Mie scattering calculations using continued fractions*, Appl. Opt. **15** (1976), no. 3, 668–671.
- [Lév97] Laurent-Patrick Lévy, *Magnétisme et supraconductivité*, SAVOIRS ACTUELS, InterÉdition / CNRS Édition, Paris, 1997.
- [LW92] Lisa Lorentzen et Haakon Waadeland, *Continued fractions with applications*, Studies in Computational Mathematics, vol. 3, Elsevier Science Publishers B. V., Amsterdam, 1992.
- [Mer79] N. D. Mermin, *The topological theory of defects in ordered media*, Rev. Modern Phys. **51** (1979), no. 3, 591–648.
- [Nab97] Gregory L. Naber, *Topology, geometry, and gauge fields*, Texts in Applied Mathematics, vol. 25, Springer-Verlag, New York, 1997.
- [Nak90] Mikio Nakahara, *Geometry, topology and physics*, Graduate Student Series in Physics, Adam Hilger, Bristol, 1990.
- [Pin86] Ulrich Pinkall, *Inequalities of Willmore type for submanifolds*, Math. Z. **193** (1986), 241–246.
- [Pol88] A. M. Polyakov, *Fermi-Bose transmutations induced by gauge fields*, Modern Phys. Lett. A **3** (1988), no. 3, 325–328.
- [PTVF92] William H. Press, Saul A. Teukolsky, William T. Vetterling, et Brian P. Flannery, *Numerical recipes in C : The art of scientific computing*, second ed., CAMBRIDGE UNIVERSITY PRESS, Cambridge, 1992.
- [Ryd85] Lewis H. Ryder, *Quantum field theory*, CAMBRIDGE UNIVERSITY PRESS, Cambridge, 1985.
- [Siv95] Jean Sivardiére, *La symétrie en mathématiques, physique et chimie*, Collection Grenoble Sciences, PRESSES UNIVERSITAIRE DE GRENOBLE, Grenoble, 1995.
- [Spa49] E. Spanier, *Borsuk's cohomotopy groups*, Ann. of Math. **50** (1949), 203–245.
- [Str61] Dirk Jan Struik, *Lectures on classical differential geometry*, second ed., Dover Publications, New York, 1961.

- [Sut95] Paul M. Sutcliffe, *Kink chains from instantons on a torus*, Nonlinearity **8** (1995), 411–421.
- [SW86] David H. Sattinger et O. L. Weaver, *Lie groups and algebras with applications to physics, geometry, and mechanics*, Applied Mathematical Sciences, vol. 61, Springer-Verlag, Berlin, 1986.
- [TB86] I. J. Thompson et A. R. Barnett, *Coulomb and Bessel functions of complex arguments and order*, J. Comput. Phys. **64** (1986), 490–509.
- [Tho98] David J. Thouless, *Topological quantum numbers in nonrelativistic physics*, World Scientific, Singapore, 1998.
- [TK76] G. Toulouse et M. Kléman, *Principles of a classification of defects in ordered media*, J. Phys. Lett. **37** (1976), no. 6, L149–L151.
- [TN89] Chia-Hsiung Tze et Soonkeon Nam, *Topological phase entanglements of membrane solitons in division algebra sigma models with a Hopf term*, Ann. Physics **193** (1989), no. 2, 419.
- [Tri79] S. Trimper, *Two-dimensional Heisenberg model and pseudoparticle solutions*, Phys. Lett. A **70** (1979), no. 2, 114–116.
- [Tze88] Chia-Hsiung Tze, *Manifold-splitting regularization, self-linking, twisting, writhing numbers of space-time ribbons and Polyakov’s proof of Fermi-Bose transmutations*, Internat. J. Modern Phys. A **3** (1988), no. 8, 1959–1979.
- [Ura93] Hajime Urakawa, *Calculus of variations and harmonic maps*, Translations of Mathematical Monographs, vol. 132, American Mathematical Society, Providence, 1993.
- [VGDSB95] Simon Villain-Guillot, Rossen Dandoloff, Avadh B. Saxena, et A. R. Bishop, *Topological solitons and geometrical frustration*, Phys. Rev. B **52** (1995), no. 9, 6712–6722.
- [Wil82] Thomas J. Willmore, *Total curvature in Riemannian geometry*, Ellis Horwood Limited, New York, 1982.
- [Wil93] Thomas J. Willmore, *Riemannian geometry*, Clarendon Press, Oxford, 1993.
- [WW52] E. T. Whittaker et G. N. Watson, *A course of modern analysis*, fourth ed., CAMBRIDGE UNIVERSITY PRESS, Cambridge, 1952.
- [Zc90] Ou-Yang Zhong-can, *Anchor ring-vesicle membranes*, Phys. Rev. A **41** (1990), no. 8, 4517–4520.



# Index des Auteurs

Les numéros de page en **gras** renvoient à la Bibliographie.

## A

- Abramowitz, Milton 58, 59, **65**  
Affleck, Ian 5, 12, **65**  
Anderson, G. D. 59, **65**  
Arscott, F. M. 61, 62, **65**  
Auerbach, Assa 4, **65**  
Azaria, P. 9, 10, **65**

## B

- Bailin, David 4, 10, **65**  
Barnett, A. R. 63, **69**  
Belavin, A. A. 20, 23, 25, **66**  
Benoit, Jérôme 21, **65**  
Bishop, A. R. 21, **67, 69**  
Bogomol'nyi, E. B. 23, 25, **66**

## C

- Chakravarty, Sudip 20, **66**  
Cieplak, M. 30, **66**  
Cohn, Harvey 22, **66**  
Coxeter, H. S. M. 4, 5, 10, 53, **66**  
Craviotto, Cathleen 63, **66**

## D

- Dandoloff, Rossen 21, **65, 67, 69**  
Delamotte, B. 9, 10, **65**  
Delduc, F. 9, 10, **65**  
Dixon, Geoffrey M. 10, **66**  
Dombre, T. 9, 10, **66**  
du Val, Patrick 5, 10, **66**  
Dubrovin, B. A. 23, **66**

## E

- Ebbinghaus, Heinz-Dieter 10, 53,  
**67**  
Eells, James 44, **67**

## F

- Felsager, Bjørn 24, 27, **67**  
Flannery, Brian P. 62, 63, **68**  
Fomenko, A. T. 23, **66**  
Fourcade, Bertrand 29, **67**  
Fradkin, Eduardo 4, 20, 33, **67**

## G

- Gautschi, Walter 62, **67**  
Giaquinta, Mariano 47, **67**  
Goldstein, Herbert 4, **67**  
Gürsey, Feza 10, **67**

## H

- Haldane, F. D. M. 12, 20, **67**  
Halperin, Bertrand I. 20, **66**  
Helfrich, Wolfgang 29, **68**  
Hermes, Hans 10, 53, **67**  
Hildebrandt, Stefan 47, **67**  
Hirzebruch, Friedrich 10, 53, **67**  
Hu, Sze-Tsen 23, **68**

## J

- Jolicoeur, Th. 9, 10, **65**  
Jones, William B. 63, **66**

**K**

- Kawamura, Hikaru 9, 15, 53, **68**  
 Kléman, M. 20, 23, 25, **69**  
 Koecher, Max 10, 53, **67**

**L**

- Lawden, Derek F. 40, 44, 56, **68**  
 Lemaire, L. 44, **67**  
 Lentz, William J. 63, **68**  
 Lévy, Laurent-Patrick 4–6, 9, 12,  
     21, **68**  
 Lorentzen, Lisa 62, 63, **68**  
 Love, Alexander 4, 10, **65**

**M**

- Mainzer, Klaus 10, 53, **67**  
 Mermin, N. D. 25, **68**

**N**

- Naber, Gregory L. 10, **68**  
 Nakahara, Mikio 10, 20, 22–24,  
     53, **68**  
 Nam, Soonkeon 10, 20, **69**  
 Nelson, David R. 20, **66**  
 Neukirch, Jürgen 10, 53, **67**  
 Novikov, S. P. 23, **66**

**P**

- Pinkall, Ulrich 28, **68**  
 Polyakov, A. M. 1, 20, 23, 25, **66**,  
     68  
 Press, William H. 62, 63, **68**  
 Prestel, Alexander 10, 53, **67**

**R**

- Read, N. 9, 10, **66**  
 Remmert, Reinhold 10, 53, **67**  
 Ryder, Lewis H. 25, **69**

**S**

- Sattinger, David H. 4, **69**  
 Saxena, Avadh B. 21, **67**, **69**  
 Sivardi  re, Jean 4, 6, 7, 9, 15, 25,  
     **69**  
 Spanier, E. 23, **69**  
 Stegun, Irene A. 58, 59, **65**  
 Struik, Dirk Jan 23, 46, **69**  
 Sutcliffe, Paul M. 56, **69**

**T**

- Teukolsky, Saul A. 62, 63, **68**  
 Thompson, I. J. 63, **69**  
 Thouless, David J. 33, **69**  
 Thron, W. J. 63, **66**  
 Toulouse, G. 20, 23, 25, **69**  
 Trimper, S. 20, **69**  
 Turski, L. A. 30, **66**  
 Tze, Chia-Hsiung 1, 10, 20, **67**, **69**

**U**

- Urakawa, Hajime 20, **69**

**V**

- Vamanamurthy, M. K. 59, **65**  
 Vetterling, William T. 62, 63, **68**  
 Villain-Guillot, Simon 21, **67**, **69**  
 Vuorinen, M. 59, **65**

**W**

- Waadeland, Haakon 62, 63, **68**  
 Watson, G. N. 33, 40, 44, 56, 58,  
     **70**  
 Weaver, O. L. 4, **69**  
 Whittaker, E. T. 33, 40, 44, 56,  
     58, **70**  
 Willmore, Thomas J. 28, 29, **70**

**Z**

- Zhong-can, Ou-Yang 43, **70**

# Lexique

Les numéros de page en **gras** renvoient à un *point clef* du Mémoire.

## A

Affleck

*cf.* prescription d’Affleck

algèbre de Lie                                  4  
algèbre réelle à divisions   **10**, 11,  
  13, 15

angle  
    d’excentricité                               **43**, 46, 50  
    d’excentricité spontané                     46  
    poloïdale                                     43  
    à l’origine                                    58  
antisymétrie imposée                         **11**

B  
bicoloré                                        8  
bipartites                                       7  
Bogomol’nyi  
    *cf.* décomposition de Bogomol’nyi

brisure de symétrie   6, **7**, 32, 35

C  
calcul symbolique/numérique   56,  
   **57**, **58**, 59, **63**

caractéristique d’Euler                     23  
Casimir

*cf.* opérateur de Casimir

Cauchy-Riemann (critère de)   33,  
   44

charge  
    de Noether                                   4  
    topologique

*cf.* indice de Pontrjagin

chaîne

    antiferromagnétique   7, 12, 15  
    de Haldane                                   11, 12  
    ferromagnétique                             7  
    paramagnétique                             7  
    régulière                                    11

*cf.* réseau

chiralité                                        15, **15**

chiralité

    nue    15, **15**, 16  
    nue nulle                                    15, **15**, 17

classe d’homotopie   23, **23**, 27, 31

classification de Toulouse-Kléman

*cf.* obstruction topologique

classification topologique   23, **23**,  
   24, 26, 27, 29–31, **31**

Clifford

*cf.* conjecture de Clifford

*cf.* tore de Clifford

combinaison linéaire algébrique 10

compactification   **22**, **23**, 35, 46

conditions

    aux bords   35, 36, 38, 46, 58  
    aux pôles                                    33, 34, 58

configuration

    « hérisson »                               **33**, 34

    frustrée                                     31, 34

    géométrique                                **30**, 31, 32

    homotope                                    30

    magnétique                                24

- |                                  |                           |                                      |  |
|----------------------------------|---------------------------|--------------------------------------|--|
| magnétique auto-duale symétrique | 36                        | souple magnétique infini             | 37   |
| magnétique gelée                 | <b>32</b> , 37, 40        | décomposition de Bogomol'nyi         | 25, 27                                     |
| magnétique symétrique            | 34, 35, 37, 45            | déformation                          |  |
| spatiale                         | 24, 29                    | continue                             | 23, 28, 29, 36, 48                         |
| de spins                         | <b>23</b> , 26            | de faible amplitude                  | <b>29</b> , 36, 48                         |
| symétrique                       | <b>33</b> , <b>33</b>     | effective                            | <b>37</b>                                  |
| topologique                      | 24, 27                    | locale                               | 28, 29, 36, <b>37</b> , 39, 40, 46         |
| topologique auto-duale           | <b>27</b> , 30, 32–34, 45 | solitonique                          | 38, <b>41</b> , 45                         |
| topologique symétrique           | 38                        | spontanée                            | 47   |
| triviale                         | 24                        | suffisamment lisse                   | 47   |
| conjecture de Clifford           | <b>28</b> , 29, 50        | symétrique                           | 34, 39, 51                                 |
| constante phénoménologique       | 47                        | triviale                             | 37   |
| constante relative de couplage   | 30, 39, 42, 49, 51        | degrés de liberté                    |  |
| contrainte                       | 12, 14, 16                | antiferromagnétiques locaux          | 10, 10, 11, 12, 14                         |
| coordonnée curviligne pertinente | <b>36</b> , 38, 46        | local                                | 4, 10                                      |
| coordonnées                      |                           | nombre total de                      | 12, 14, 16                                 |
| cylindriques                     | 35, 43                    | description                          |  |
| péri-polaires                    | 43, 45                    | algébrique                           | 21, <b>21</b> , <b>22</b> , 26, 33, 34, 44 |
| sphériques                       | <b>20</b> , 21, 32        | géométrique                          | 21, 26, 32, 36, 38, 44                     |
| stéréographiques                 | <b>21</b> , 22, 33        | dièdre orthonormé                    | 14   |
| couplage                         |                           | dilatation relative                  |  |
| antiferromagnétique isotrope     | 5                         | du cylindre                          | <b>41</b> , 42                             |
| spin-spin                        | 5, 21, 30                 | du tore                              | 49, 50, <b>50</b>                          |
| spin-élasticité                  | <b>30</b>                 |                                      |  |
| courbure                         |                           |                                      |  |
| constante                        | 28                        | <b>E</b>                             |  |
| locale de Gauss                  | 23, <b>27</b>             | échange électronique                 | 5, 9, 11, 21                               |
| moyenne locale                   | <b>27</b> , 46            | Eells-Wood (théorème de)             | 44   |
| moyenne rigidifiée               | 47                        | énergie                              |  |
| moyenne spontanée                | 29, <b>29</b> , 47        | de courbure                          | 27   |
| principale                       | <b>27</b> , 28, 46        | de courbure saturée                  | 30   |
| Curie                            |                           | élastique                            | 29, 31, 41, 50                             |
| cf. température de Curie         |                           | magnétique                           | 27, 31, 40, 41, 50                         |
| cylindre                         |                           | magnétique saturée                   | 30   |
| magnétique rigide                | 36                        | <i>minimum minimorum</i> topologique |  |
| rigide infini                    | 38                        | 31, <b>31</b> , 42                   |  |

du soliton	41	forme harmonique	
topologique	26, <b>26</b> , 27, 40	<i>cf.</i> $\sigma$ non-linéaire	
équation		fraction continue	62, 63
homogène de Lamé	41	frustration	
inhomogène de Lamé	41, <b>41</b> , 61, <b>61</b> , 63	géométrique	9, 30, <b>31</b> , 32, 40, <b>41</b>
inhomogène de Lamé	<b>61</b>		
paramètre		G	
de sinus-Gordon		Gauss-Bonnet (théorème de)	23, 29
<i>cf.</i> sinus-Gordon		genre topologique	23, <b>23</b> , 24, 29
équations		genre topologique	
auto-duales	<b>26</b> , 27, 32, 44	sphérique	<b>29</b> , 32, 35
auto-duales symétriques	36	torique	<b>29</b> , 43
d'Euler-Lagrange	<b>30</b> , 31, 33, 38, 40, 47, 48	groupe de cohomotopie	23, <b>23</b> , 24
état		H	
antiferromagnétique	7, 9	Haldane	
de Néel	7	<i>cf.</i> chaîne de Haldane	
non-symétrique	<b>6</b>	Hamiltonien	
paramagnétique	<b>6</b>	élastique	29, <b>29</b> , 30, 36, 48
Euler		élastique naïf	28, <b>28</b> , 29
<i>cf.</i> caractéristique d'Euler		de Heisenberg	5
Euler-Lagrange		de Heisenberg antiferromagné- tique	7
<i>cf.</i> équations d'Euler-Lagrange		de Helfrich-Willmore	<b>29</b>
F		magnétique	21, 22, 25–27, 29, 30, 32, 33, 35, 37, 38, 44, 45
fonction		magnéto-élastique	<b>30</b>
elliptique	44	total	30, <b>30</b> , 31, 32, 37, 40, 48
hypergéométrique	58	Heisenberg	
de Lamé	61	<i>cf.</i> Hamiltonien de Heisenberg	
méromorphe	33, 44	<i>cf.</i> modèle antiferromagnétique de Heisenberg	
fonctionnelle de Willmore	28, <b>29</b>	Helfrich	
fonctions		<i>cf.</i> Hamiltonien	
elliptiques de Jacobi	<b>56</b> , 57	<i>cf.</i> Helfrich-Willmore	
forme		hiérarchie algébrique	10, 11
homéomorphe	30	Horner	
de Horner (sous la)	63	<i>cf.</i> forme	
spontanée	29, <b>29</b> , 30, 41, 50	hélicité	9, <b>9</b> , 10
topologique	29		

**I**

indice de Pontrjagin	24, <b>24</b> , 26, 33, 38, 44
interaction	
Coulombienne	5
d'échange	
<i>cf.</i> échange électronique	
élastique	30
magnétique	30
topologique	<b>31</b>
intégrale canonique elliptique	55, 56, <b>56</b> , 57, 58
invariant	
de symétrie	25
topologique	23–25
inversion formelle	59
isotropie	4

**J**

Jacobi	
<i>cf.</i> fonctions	
<i>cf.</i> transformation réelle de Jacobi	
jauge locale	<b>10</b> , 11, 14, 15

**K**

Künneth (formule de)	24
----------------------	----

**L**

Lamé	
<i>cf.</i> fonction	
Lentz (algorithme modifié de)	63
levée topologique	<b>27</b> , <b>29</b> , 30
libération géométrique	<b>41</b> , 42, 49, 51
Lie	
<i>cf.</i> algèbre de Lie	
limite	
classique	5, 12, 14, 16
continue	5, 10, 12, 14

longueur solitonique

*cf.* soliton**M**

magnétisation locale	20
magnétisme	5, 11, 46
membrane	
compactifiée	23, 29
magnétique	<b>21</b> , 24, 31
plane	29
souple compactifiée	28, 29, 31, 35, 37
souple rigidifiée	32, <b>34</b> , 35, 45
module réduit	59
modèle antiferromagnétique de Heisenberg	4
moment angulaire	
intrinsèque	
<i>cf.</i> spin	
orbital	4
motif alterné	7

**N**

Néel	
<i>cf.</i> plaquette de Néel	
<i>cf.</i> réseau de Néel	
<i>cf.</i> sous-réseau de Néel	
<i>cf.</i> état de Néel	
Noether	
<i>cf.</i> charge de Noether	
nœuds	4

**O**

objet topologique	<b>23</b>
obstruction topologique	23–25, 30
opérateur	
de Casimir	4, 12
ordonnancement	
antiferromagnétique	10
magnétique	6, <b>6</b>

ordre topologique		de révolution	28, 43
<i>cf.</i> classification topologique		spontané	36
<i>cf.</i> obstruction topologique		récurrence à trois termes	<b>62</b>
<b>P</b>		représentation	
paramètre		algébrique	10, 11
de forme pertinent	<b>36</b> , 38, 46, 50	complexe	13, 14, 16
pertinent	<b>40</b>	irréductible	10
<i>cf.</i> sinus-Gordon		pseudo-scalaire	14
paramètre d'ordre		réelle	11
antiferromagnétique local	<b>10</b> , 12–14, 16	triviale	12, 13, 16
local	<b>5</b> , 6, <b>6</b> , 9, <b>20</b> , 21, 22, 27	réseau	4
locale	24	réseau	
pas		antiferromagnétique	4
<i>cf.</i> réseau		carré	15
Pauli (principe de)	5	carré antiferromagnétique	17
pavage compact régulier	4, 5, 10	carré ferromagnétique	8
Perron (théorème de)	62	carré paramagnétique	6
Pincherle (théorème de)	62	de l'état antiferromagnétique	<b>9</b> , 10
plaquette de Néel	6, 7	de l'état paramagnétique	10
Pochhammer (symboles de)	59	de Néel	7
polytope régulier	4, 10, 11	pas du	4, 5
Pontrjagin		régulier	5
<i>cf.</i> indice de Pontrjagin		régulier isotrope	4
prescription d'Affleck	5, 12	triangulaire	9, 13
projection stéréographique	22	triangulaire antiferromagnétique	15
<b>Q</b>		triangulaire paramagnétique	6
quasi période		<i>cf.</i> chaîne	
<i>cf.</i> sinus-Gordon		Riemann	
quasi quart-période		<i>cf.</i> sphère de Riemann	
<i>cf.</i> sinus-Gordon		rigidité	
<b>R</b>		de courbure	29, <b>29</b>
rayon		de courbure nue	<b>28</b> , 29
axiale	28, 43	topologique	29, <b>29</b>
extérieur	50		
géométrique	<b>43</b>	<b>S</b>	
intérieur	50	$\sigma$ -fonctions de Weierstrass	44
		$\sigma$ non-linéaire (modèle)	10, 20, <b>20</b>
		similitude géométrique	50, <b>50</b>

sinus-Gordon	
équation double de	55, <b>57</b>
équation simple de	<b>38</b> , 55, <b>55</b> ,
<b>56</b> , 57	
paramètre	<b>38</b> , 40, 55, <b>55</b> , 56
quasi période	56, <b>56</b>
quasi quart-période	<b>56</b> , 57,
58, 60	
quasi quart-période généralisée	
<b>58</b>	
soliton	36, <b>56</b> , 57
soliton	
assouvi	35
confiné	<b>40</b> , 42, 49
frustré	39, 40, 51
longueur solitonique	58
magnétique	36, 37
paramètre	58
périodique	38, <b>38</b>
vague du	41, 51
solution	
dominante	<b>62</b>
minimale	62, <b>62</b>
sommation connexe	23, 24
sous-réseau de Néel	7–9
sphère	
complexe	22
de Riemann	22
magnétique rigide	33
rigide	33
rigide magnétique	32, 33
spin	4, <b>4</b> , 5, 6, 10
spin	
interne	<b>12</b> , 15, 17
« sur-chaîne »	12
« sur-noeud »	5, 6, <b>7</b> , 10
« sur-particule »	10, <b>11</b> , 12, 15
« sur-pavage »	6
« sur-réseau »	5, 6, 9, <b>9</b> , 10
symétrie héritée	<b>11</b>
<b>T</b>	
température de Curie	6
topologie	
combinatoire	23
<i>cf.</i> objet topologique	
tore de Clifford	28, <b>28</b> , 29, 49
Toulouse-Kléman	
<i>cf.</i> classification de Toulouse-Kléman	
transformation réelle de Jacobi	61,
	63
transition de phase du second ordre	6
tricoloré	8
trièdre orthonormé	14
trigonométrie jacobienne	56
tripartite	7
<b>V</b>	
vague	
<i>cf.</i> soliton	
variété	
cible	21, 23, 24, 26
du paramètre d'ordre	21
support	23, 24
verrouillage topologique	
<i>cf.</i> obstruction topologique	
<b>W</b>	
Willmore	
<i>cf.</i> Hamiltonien	
de Helfrich-Willmore	
<i>cf.</i> fonctionnelle de Willmore	
<b>Z</b>	
zéro absolu	6
$\zeta$ -fonctions de Weierstrass	45

# Table des Figures

1.1	Les réseaux triangulaire et carré paramagnétiques . . . . .	6
1.2	La chaîne paramagnétique . . . . .	7
1.3	La chaîne ferromagnétique . . . . .	7
1.4	Le réseau triangulaire ferromagnétique . . . . .	8
1.5	Le réseau carré ferromagnétique . . . . .	8
1.6	Représentation réelle du 1-cube . . . . .	11
1.7	Représentation complexe du triangle équilatéral . . . . .	13
1.8	Représentation complexe du carré . . . . .	16
2.1	Le paramètre d'ordre $\hat{\mathbf{n}}$ : coordonnées sphériques . . . . .	20
2.2	Le paramètre d'ordre $\hat{\mathbf{n}}$ : coordonnées stéréographiques . . . . .	21
2.3	Tore de Clifford . . . . .	28
2.4	Section de cylindre magnétique souple : déformation . . . . .	39
2.5	Sections de cylindre magnétiques souples : dilatation . . . . .	42
2.6	Sections de tore magnétiques souples : dilatation . . . . .	49
2.7	Tore de Clifford magnétique souple : déformation symétrique .	51
A.1	Fonction réciproque de la quasi quart-période de sinus-Gordon	60



# Publications

## Publications

- [1] *Heisenberg spins on an elastic torus section,*  
Phys. Lett. A **248** (1998), no. 5-6, 439–444,  
avec Rossen DANDOLOFF.
- [2] *Heisenberg spins on a cylinder section,*  
à paraître in Internat. J. Modern Phys. B (1999),  
avec Rossen DANDOLOFF et Avadh SAXENA.

## En Préparation

- [3] *Antiferromagnetic Heisenberg spins on a triangular lattice:  
the continuum limit,*  
avec Rossen DANDOLOFF.
- [4] *Heisenberg spins on a torus,* avec Rossen DANDOLOFF.



# Informations

- <http://perso.wanadoo.fr/jgmbenoit/>
- jerome.benoit@ptm.u-cergy.fr

